

P-050

Asetilsalisik asit preparatını koroner arter cerrahisi öncesinde kullanan hastalarla kullanmayanların komorbit değişkenlerinin karşılaştırılması

Barçın Özcem, Ufuk Yetkin, Mehmet Bademci, Muhammet Akyüz, Serkan Yazman, Ersin Çelik, İsmail Yürekli, Ali Gürbüz

İzmir Atatürk Eğitim ve Araştırma Hastanesi, Göğüs Kalp ve Damar Cerrahisi Kliniği, İzmir

Amaç: Bu çalışmanın amacı; koroner arter bypass greftleme operasyonuna kadar günde 100 mg enterik kapsı ASA tablet kullanan hastalarla, kullanmayan hastaların komorbid değişkenlerinin irdelenip anlamlı fark olup olmadığını saptamasıdır.

Yöntem: Klinikümüzde Ocak 2011-Aralık 2011 tarihleri arasında koroner arter bypass greftleme cerrahisi uygulanan 61 koroner arter hastası retrospektif olarak incelendi. Hastalardan 30'u (% 49.2) 100 mg enterik kapsı asetilsalisik asit kullanan grup, 31'i (%50.8) ise ASA kullanmayan grup olarak ikiye ayrıldı. ASA kullanımını olan grubun yaş ortalaması 61.33 yıl iken ASA kullanımını olmayan grubun yaş ortalaması 57.71 yıldır.

Bulgular-Sonuç: Çalışmaya dahil edilen 61 hastanın 49'u (%80.3) kardiyopulmoner bypass cihazı kullanılarak, 12'si (%19.7) ise atan kalpte ameliyat edilmiştir. Ameliyat edilen hastalar, komoribit faktörlerinden karşılaştırıldığında her iki grup arasında anlamlı farklılık saptanmadı ($p>0.05$). Grupların komoribit faktörlerine, ASA kullanımına ve pompa kullanımına göre dağılımı Tablo 1'de gösterilmiştir.

P-051

Acil koroner bypass uygulanan ciddi sol ana koroner hastası senil olguda ameliyat sonrası erken dönemde bulgulanan diplopi symptomunun nadir etmeni: Sol parasellar menenjiom

Ufuk Yetkin, Ersin Çelik, İsmail Yürekli, Barçın Özcem, Melda Apaydın, Aykut Şahin, Haydar Yaşa, Ali Gürbüz

İzmir Atatürk Eğitim ve Araştırma Hastanesi, Göğüs Kalp ve Damar Cerrahisi Kliniği, İzmir

Menenjiomlar primer intrakranial tümörlerin %14-20'sini oluşturmaktadır. Sol ana koroner arterin %50 ve üzerindeki ciddi olarak nitelenen darlıklarının en önemli özelliği tam tikanma olması durumunda geniş bir miyokard alanını harap etmen potansiyeline sahip olabilmesidir. Olgumuz 69 yaşında erkekti. Göğüs ağrısı yakınlığıyla gerçekleştirilen koroner anjiyogramında sol ana koroner arterinde %80 daralma oluştururan ve trombuslu distal lezyon olarak nitelenen bulgusun yanısıra sol on inen arterin distal segmentinin diffiz ince olduğu ve sağ koroner arterinde de %80 oranında ciddi bir darlık bulgulandı. Acil aorto-koroner bypass amacıyla operasyona alındı. Medyan sternotomi takiben perikardın ileri derecede yapışık olduğu gözlandı. Subtotal perikardiyektoni takiben sol on inen koroner arter, 1. obtus marginal arter ile sağ koroner arterin PD dalına, hazırlanan sağ nativ safen greffle üçlü aortokoroner bypass işlemi uygulandı. Ameliyat sonrası 6. günde diplopi yakınıması kaydedildi. Yapılan nörolojik değerlendirilmesinde özellikle binoküler uzaga bakışta belirgin diplopi tarifediği saptandı. İstenen beyin MR ve difüzyon MR incelemesinde sol sella lateral ve superior komşuluğunda yaklaşık 21x11 mm boyutlarında ekstraaksiyal dura tabanlı kontrast tutan kitle izlenmiş olup menenjiom ile uyumlu olduğu belirtildi. MR'da akut difüzyon kıstılılığı izlenmedi. Yapılan Nöroloji rekonülasyonda olası bası etkisi yönünden kitlenin cerrahi endikasyonu açısından Beyin Cerrahisi konsültasyonuya değerlendirilmesi salık verildi. Beyin Cerrahisi konsültasyonda sol parasellar menenjiom tanısı doğrulanarak über aylık peryotlarla poliklinik kontrolü önerildi. Olgumuz 14. günde Kalp Damar Cerrahisi açısından şifa ile taburcu edildi. Olgumuzun geç dönem izlemi polikliniğiimizde devam etmektedir. MR incelemede tanı konulanın kadar menenjiomlar coğu asemptomatiktir. Ventrikül fonksiyonlarından bağımsız olarak sol ana koroner arterin ciddi darlığındı uygulanan cerrahi sayesinde 4 yıllık sağ kalımın %71'den % 89'a çıktıgı belirlenmiştir.

P-050

Comparison of comorbid variables between patients receiving and not receiving salicylate before coronary surgery

Barçın Özcem, Ufuk Yetkin, Mehmet Bademci, Muhammet Akyüz, Serkan Yazman, Ersin Çelik, İsmail Yürekli, Ali Gürbüz

Department of Thoracic and Cardiovascular Surgery, İzmir Atatürk Training and Research Hospital, İzmir

P-051

A rare etiological factor of diplopia developed during early postoperative period in a senile case with significant left main disease undergoing emergency coronary bypass surgery: left parasellar meningioma

Ufuk Yetkin, Ersin Çelik, İsmail Yürekli, Barçın Özcem, Melda Apaydın, Aykut Şahin, Haydar Yaşa, Ali Gürbüz

Department of Thoracic and Cardiovascular Surgery, İzmir Atatürk Training and Research Hospital, İzmir

P-052

Koroner arter cerrahisi öncesinde asetilsalisik asit kullanan hastaların kullanmayanların postoperatif toplam mediastinal drenaj miktarları açısından karşılaştırılması

Barçın Özçem, Ufuk Yetkin, Mehmet Bademci, Muhammet Akyüz, Serkan Yazman, Ersin Çelik, İsmail Yürekli, Ali Gürbüz

İzmir Atatürk Eğitim ve Araştırma Hastanesi, Göğüs Kulp ve Damar Cerrahisi Kliniği, İzmir

Amaç: Asetil salisilik asit(ASA)'in antitrombotik (antiagregan) etkisi düşük dozlarda olumsakta ve etki süresi trombositerin yaşam süresi kadar (ortalama 9 gün) devam etmektedir. Bundan dolayı, cerrahlar ASA'nın postoperatif dönemde kanamayı artırtıcı komplikasyonundan çekindiklerinden, cerrahi girişimlerden 1 hafta -10 gün önce, ASA kullanmayı kesmektedirler.

Yöntem: Klinikümüzde bir yıllık süre içinde koroner arter bypass greffleme cerrahisi uygulanan 61 koroner arter hastası retrospektif olarak incelendi. Çalışmaya dahil edilen 61 hastanın 49'u (%80.3) kardiyopulmoner bypass cihazı kullanılarak ameliyat edilmiştir.

Bulgular: Kardiyopulmoner bypass(KPB) kullanılarak opere edilen olguların total mediastinal drenaj, verilen kan ve kan ürünlerini ortalama dağılımı incelendiğinde gruplar arasında istatistiksel olarak anlamlı fark bulgulanmadı ($p>0.05$). Çalışmaya alınan 61 hastanın 12'si KPB kullanılmadan ameliyat edilmiş olup, ameliyat edilen ve operasyon gününe kadar ASA kullanımı olan 8 hastanın ortalama mediastinal drenaj miktarı 631.25 cc olarak bulgulandı. KPB kullanılmadan atan kalpte ameliyat edilen ve operasyon gününe kadar ASA kullanımının 4 hastanın ortalama mediastinal drenaj miktarı ise 525 cc olarak saptandı. KPB kullanılmadan atan kalpte ameliyat edilen olguların total mediastinal drenaj ortalama dağılımı incelendiğinde gruplar arasında istatistiksel olarak anlamlı fark saptanmadı ($p>0.05$).

Sonuç: KPB kullanılmayan ve kullanılan olguların ASA kullanımına göre ortalama total mediastinal drenaj dağılımı incelendiğinde, ASA kullanımına göre gruplarda istatistiksel olarak anlamlı farklılık saptanmadı ($p>0.05$).

P-052

Comparison of amount of postoperative mediastinal drainage between patients receiving and not receiving salicylate before coronary surgery

Barçın Özçem, Ufuk Yetkin, Mehmet Bademci, Muhammet Akyüz, Serkan Yazman, Ersin Çelik, İsmail Yürekli, Ali Gürbüz

Department of Thoracic and Cardiovascular Surgery, İzmir Atatürk Training and Research Hospital, İzmir

P-053

Konjenital sağ ve sol koroner arter kaynaklı koroner-pulmoner arter fistili

Ali Kemal Gür¹, Yüksel Kaya², Ahmet Karakurt²

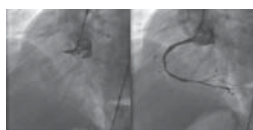
¹*Van Bölge Eğitim ve Araştırma Hastanesi, Kalp ve Damar Cerrahisi Kliniği, Van*

²*Kafkas Üniversitesi Tıp Fakültesi, Kardiyoloji Anabilim Dalı, Kars*

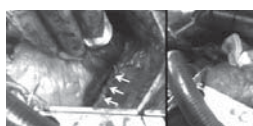
Giriş: Koroner arterlerde fistülöz oluşumlar nadir görülen bir konjenital anomalidir. İnsidansı 1/50000 canlı doğum olarak görülmektedir. Toplam 50000 olguda %53 sağ koroner arter, %42 sol koroner arter ve %5 her iki koroner arterde AV fistül görülmeye sıklıkla rapor edilmiştir.

Olgu: Göğüs ağrısı, çarpıntı ve nefes darlığı şikayeti ile polikliniğiimize başvuran 46 yaşında bayan hastanın yapılan ekokardiyografsında sol ventrikül ejeksiyon fraksiyonu %45, ileri mitral yetersizliği ve orta-ileri triküspit yetersizliği tespit edildi. Yapılan koroner anjografide biri sol önen koroner arter proksimalinden ve diğeri sağ koroner arter proksimal kesiminden kaynakanan ve ana pulmoner arterde sonlanan fistül tespit edildi (Şekil 1). Hastanın kardiyopulmoner bypass altında mevcut koroner fistülleri kapatıldı (Şekil 2). Peroperatif eksplorasyonda mitral arkası kapakçığa quadriangular rezeksiyon yapıldı ve 32 No St Jude mitral halka kullanılarak mitral annüloplasti yapıldı. Triküspit kapak ring annüloplasti yapılarak tamir edildi. Postoperatif takiplerde stabil olan ve şikayetleri düzelen hasta şifa ile taburcu edildi.

Sonuç: Semptomatik koroner fistili olan hastalar zaman kaybedilmeden perkutan veya cerrahi yolla mevcut komplikasyonlar göz önünde bulundurularak erken dönemde kapatılmalıdır.



Şekil 1. Sol panel: LAD'den köken alıp pulmoner arterde sonlanan fistülün anjografik görünümü. Sağ panel: RCA'dan köken alıp pulmoner arterde sonlanan fistülün anjografik görünümü



Şekil 2. Sol panel: LAD-pulmoner arter fistülünün intraoperatif görünümü. Sağ Panel: Pulmoner arter içerisindeki fistülün drene olan olduğu ostium

P-053

Congenital coronary-to-pulmonary artery fistula originating from right and left coronary artery

Ali Kemal Gür¹, Yüksel Kaya², Ahmet Karakurt²

¹*Department of Cardiovascular Surgery, Van Bölge Training and Research Hospital, Van*

²*Department of Cardiology, Kafkas University Faculty of Medicine, Kars*

P-054

Kalp yetersizlikli hastalarda kalp hızı ölçümünde yeni bir yaklaşım: Kalp hızı performans indeksi

Aydın Akyüz, Şeref Alpsoy, Dursun Çayan Akkoyun, Niyazi Güler

Namık Kemal Üniversitesi Tip Fakültesi, Kardiyoloji Anabilim Dalı, Tekirdağ

Congestive heart failure

P-054

A new approach to the measurement of heart rate in patients with chronic heart failure: Heart rate performance index

Aydın Akyüz, Şeref Alpsoy, Dursun Çayan Akkoyun, Niyazi Güler

Department of Cardiology, Namık Kemal University Faculty of Medicine, Tekirdağ

Objective: In order to evaluate the utility of the heart rate performance index (HRPI), which is obtained by dividing HRmean by the difference of HRmax and HRmin in the context of Holter monitoring, we evaluated whether HRPI correlates with left ventricle ejection fraction (LVEF).

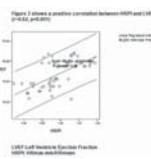
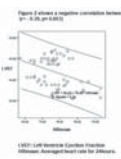
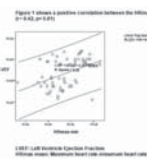
Methods: The treatment group for this study included 32 patients with non-valvular CHF; the control group comprised 32 subjects without heart failure. In the CHF group, there were 10 patients with coronary artery disease (CAD) and 22 cases with non-ischemic manifestations of the disease. Heart rate analysis was measured using 24-hour Holter ambulatory ECG. To determine the HRPI, the difference between maximum (HRmax) and minimum heart rate (HRmin) was divided by mean heart rate (HRmean) (beats/minute): HRPI = (HRmax-HRmin) / HRmean.

Results: The HRmean was higher (80.2 ± 11.3 and 75.2 ± 6.7 , $p < 0.007$) and HRmax-HRmin (67.9 ± 11.6 and 83.3 ± 14.3 , $p < 0.001$) were lower in the CHF group as compared to the control group. The HRPI index value was markedly decreased (0.83 ± 0.15 and 1.10 ± 0.16 , $p < 0.001$) in the CHF group as compared to the control group. The data collected for the CHF and control groups ($n=64$) demonstrated a positive correlation between the HRPI and LVEF ($r=0.62$, $p < 0.001$) as well as a negative correlation between the HRmean and LVEF ($r=-0.39$, $p < 0.003$). We developed a formula evaluate LVEF according to HRPI in CHF as follows: $LVEF = 5.67 + [42.43 \times HRPI] / 95\% CI$; $p < 0.01$, $R^2: 0.38$.

Conclusion: According our findings, patients with CHF exhibited higher HRmean values, reduced HRmax-min values and significantly decreased HRPI values. Therefore HRPI values represent a viable option for use in the evaluation of patients with CHF.

Table 1. 24- hour Ambulatory Electrocardiographic measurements according to Ejection Fraction *Heart Rate Performance Index: (Maximum Heart Rate -Minimum Heart Rate) / Mean Heart Rate (beat per minute)

	Heart failure(n=32)	Control (n=32)	p value
Minimum Heart rate mean±SD	32.4±7.6	53.6±9.3	0.759
Mean Heart rate mean±SD	80.2±11.3	75.2±6.7	0.007
Maximum Heart rate mean±SD	120.3±12.5	136.2±14.1	0.087
Heart Rate Maximum-Heart Rate minimum mean±SD	67.9±11.6	83.3±14.3	0.001
Heart Rate Performance Index*mean±SD	0.83±0.15	1.10±0.16	0.001
Ejection Fraction/%	34±6	59±5	0.018



P-055

Kalp yetersizliği olan hastalarda, NT-pro-BNP düzeylerinin, konvansiyonel ekokardiografi ve benek izlemeli ekokardiografi ile belirlenmiş olan atriyal fonksiyonları ile olan ilişkileri

Atkan Yılmizoğlu¹, Aytiltı Belgi Yıldırım¹, Refik Emre Altekin¹, Murathan Küçük¹, Mustafa Serkan Karakaş², Barış Akdemir¹, Arzu Er¹, Sinan Cemgil Özbeğ⁴, Ali Rıza Gülcen³, Serkan Koç¹, Mehmet Kabukçu¹, Necmi Değer¹, İbrahim Demir¹

¹Akdeniz Üniversitesi Tip Fakültesi, Kardiyoloji Anabilim Dalı, Antalya²Niğde Devlet Hastanesi, Kardiyoloji Kliniği, Niğde³Şanlıurfa Eğitim ve Araştırma Hastanesi, Kardiyoloji Kliniği, Şanlıurfa⁴TC. SB. Ahi Evran Üniversitesi Eğitim ve Araştırma Hastanesi, Kardiyoloji Bölümü, Kırşehir

Amaç: Kalp yetersizliği olan hastalarda, konvansiyonel ekokardiografi ve benek izlemeli ekokardiografi ile belirlenen sol atriyal (LA) fonksiyonlara ilişkin parametreler ile NT-pro-BNP düzeyleri arasında ilişkilerin araştırılması.

Yöntem-Gereklilik: Çalışmamızda, sol kalp yetersizliği olan (iskemik ve iskemik olmayan etiyofojili), atriyal fibrillasyonu, kronik böbrek yetersizliği olmayan, ciddi valvüler patolojisi olmayan 50 hasta dahil edildi. Hastaların, ekokardiografik değerlerin ortalamalarının yapılmamasını takiben NT-pro-BNP düzeylerinin saptanması için Echopac PC version 8 (GE Healthcare) programı ile analiz edildi. Arikap 4 ve 2 boşuk incelemelerinden, LA rezervuar fonksiyon göstergeyi olan global LA strain (LAS), LA pik pozitif strain ve pik negatif strain değerlerinin toplamları hesaplandı. Sol ventrikül sistoli sırasında, LA pik pozitif strain hızı (LA-S-SR), erken diastolik dolumu karşılık gelen erken pik negatif strain hızı (LA-E-SR) ve LA sistole karşılık gelen gec negatif pik strain hızı (LA-A-SR), apikal 4 ve 2 boşukları incelemeye ortalamalarından elde edildi. Konvansiyonel parametrelere apikal 4 ve 2 boşuk görüntülerini ortalamalarından, genişleme indeksi (GI) ($100 * [\text{maksimal LA hacmi} - \text{minimal LA hacmi}] / \text{minimal LA hacmi}$), pasif boşalma fraksiyonu (PBF) ($100 * [\text{maksimal LA hacmi} - \text{p dalga öncesi LA hacmi}] / \text{maksimal LA hacmi}$) ve aktif boşalma fraksiyonu (ABF) ($100 * [\text{p dalga öncesi LA hacmi} - \text{minimal LA hacmi}] / \text{p dalga öncesi LA hacmi}$) parametreleri hesaplandı. Veriler toplandıktan sonra "SPSS 15.0 for Windows" programında istatistiksel analizler uygulandı.

Bulgular: NT-pro-BNP düzeylerinin LAS, LA-S-SR, LA-E-SR, LA-A-SR parametreleri ile orta düzeye ilişkili olduğu görülmüşür. NT-pro-BNP düzeyleri ile GI ve ABF arasında orta düzeye ilişkili saptanmıştır. PBF ile NT-pro-BNP düzeyleri arasında ilişkili saptanamamıştır (Tablo-1).

Sonuçlar: Kalp yetersizliği olan hastalarda, artan sol ventrikül dolum basıncı anlamlı olarak artan NT-pro-BNP düzeyleri ile, LA kontraktil fonksiyonu başta olmak üzere, LA rezervuar fonksiyonlarında azalma olduğu ve hatta erken diastolik atriyal kısılma hızında da azalma olduğu görülmüştür.

Tablo-1. Sol atriyuma ait parametrelere NT-pro-BNP düzeyleri ile olan ilişkiler

Parametre	Ortalama/Ortanca değer	NT-Pro-BNP ile olan ilişki (Spearman's Rho)	P değeri
GI	88,6	-0,547	<0,01
ABF (%)	27,9±10,4	-0,569	<0,01
PBF (%)	26,6±8,4	-0,266	0,06
LAS (%)	14,4±6,1	-0,589	<0,01
LA-S-SR (1/%)	0,684±0,25	-0,556	<0,01
LA-E-SR (1/%)	-0,624±0,24	0,407	<0,01
LA-A-SR (1/%)	-0,87	0,582	<0,01

GI: genişleme/şıkmak indeksi. ABF: aktif boşalma zamam. LAS: sol atriyal global strain. LA-S-SR: sol atriyal pik pozitif strain hızı. LA-E-SR: sol atriyal erken pik negatif strain hızı. LA-A-SR: sol atriyal gec pik negatif strain hızı. NT-pro-BNP düzeyi ortanca değer: 1312,5 pg/ml.

P-055

Relationship between NT-PRO-BNP levels and left atrial functions in patients with heart failure: Speckle tracking echocardiography study

Atakan Yılmizoğlu¹, Aytiltı Belgi Yıldırım¹, Refik Emre Altekin¹, Murathan Küçük¹, Mustafa Serkan Karakaş², Barış Akdemir¹, Arzu Er¹, Sinan Cemgil Özbeğ⁴, Ali Rıza Gülcen³, Serkan Koç¹, Mehmet Kabukçu¹, Necmi Değer¹, İbrahim Demir¹

¹Department of Cardiology, Akdeniz University Faculty of Medicine, Antalya²Department of Cardiology, Niğde State Hospital, Niğde³Department of Cardiology, Şanlıurfa Training and Research Hospital, Şanlıurfa⁴Department of Cardiology, TC. SB. Ahi Evran University Training and Research Hospital, Kırşehir

Kalp yetersizlikli hastalarda düşük fonksiyonel kapasite ile azalmış sağ ventrikül sistolik fonksiyonu arasındaki ilişki

Atakan Yanıköglü¹, Aytül Belgi Yıldırım¹, Refik Emre Altekin¹, Murathan Küçük¹, İbrahim Başarıcı¹, Barış Akdemir¹, Mustafa Serkan Karakas², Arzu Er¹, Can Ramazan Öncel¹, Mustafa Uçar¹, Hüseyin Yılmaz¹, Necmi Değer¹, İbrahim Demir¹

¹Akdeniz Üniversitesi Tip Fakültesi, Kardiyoloji Anabilim Dalı, Antalya

²Niğde Devlet Hastanesi, Kardiyoloji Kliniği, Niğde

Amaç: Bu çalışmada, sol ventrikül ejeşyonu fraksiyonu %40 ve altında bulunan kalp yetersizliği olan hastalarda, iki boyutlu benek izlemeli ekokardiografi ile tayin edilmiş sağ ventrikül fonksiyonlarının, bu hastalarda 6 dakika yürüme testi ile belirlenen fonksiyonel kapasiteleri ile olan ilişkileri saptanmaya çalışılmıştır.

Yöntem-Gereçler: Çalışmaya klinigimize ayakta başurdu bulunan, atriyal fibrillasyonu, ciddi kapak hastalığı ve kronik böbrek yetmezliği bulunan, %40 ve altında ejeşyonu fraksiyonu bulunan ve 6 dakika yürüme testini engeli bulunan hastalar, kalp yetersizliği bulunan (iskemik ve iskemik olmayan etyolojili) 50 hasta dahil edildi. Hastaların ekokardiografik incelemeleri ve kayıtlarının alınmasını takiben 6 dakika yürüme testi uygulandı. Ekokardiografik kayıtlar, benek izlemeli ekokardiografik analiz amaçlı "Echopac PC, version 8, GE Healthcare" programında analiz edildi. Hastaların ekokardiografik parametreleri ve sağ ventrikül serbest duvarın pik sistolik strain (RV-S) değerleri hesaplandı. Veriler toplandıktan sonra "SPSS 15.0 for Windows" programında istatistiksel analizler uygulandı.

Bulgular: Hastaların ortalaması RV-S değeri 18.50 ± 4.83 olarak hesaplandı. Bu değere göre hastalar iki grupta incelendiğinde, gruplar arasında klinik ve demografik parametreler arasında belirgin bir fark bulunmamasına rağmen, düşük RV-S değerlerine sahip olan hastaların, yüksek RV-S değerlerine sahip olan hastalara kıyasla 6 dakika yürüme testinde daha az mesafe kat ettikleri görüldü (488.2 ± 130.9 metreye karşı 327.9 ± 146.2 metre, $p < 0.01$). Diğer konvansiyonel ekokardiografik parametreler incelendiğine tammin sistolik pulmoner arter basıncıları arasında belirgin bir fark saptanmadı (27.0 ± 7.5 mmHg'ya karşı 37.1 ± 10.9 mmHg, $p = 0.01$). Gruplar arasında biplan Simpson metodlu ile hesaplanan ejeşyonu fraksiyonları ve sol ventrikül diastol sonu hacimleri arasında belirgin bir fark saptanmadı. Tahmini sol ventrikül diastolik dolum basıncı göstergesi olan Doppler E/E' değerleri RV-S düşük olan grupta belirgin bir şekilde daha yüksek olarak saptandı (16.64 ± 7.91 'ya karşılık 22.76 ± 7.46 , $p < 0.01$).

Sonuçlar: Sonuç olarak, benek izlemeli ekokardiografi ile belirlenen sağ ventrikül serbest duvar longitudinal düzlemden olan sistolik kısalmasının, tahmini sol ventrikül dolum basınçları ile ilişkili olacak şekilde, 6 dakika yürüme testi ile belirlenen fonksiyonel kapasite ile ilişkili olduğunu görmüştür.

Parametre	RV-STR yüksek (n=26)	RV-STR düşük (n=24)	P değeri
6 MWT-Dis (metre)	$488,2 \pm 130,9$	$327,9 \pm 146,2$	<0,01
BP-LVDV (ml)	$158,3 \pm 52,4$	$189,7 \pm 55,3$	0,044
BP-EF (%)	$30,4 \pm 5,7$	$27,0 \pm 6,0$	0,046
LAVI (ml/m ²)	$41,3 (21,12)^*$	$52,1 (29,38)^*$	0,027
E/A	$0,91 (21,12)^*$	$2,4 (30,25)^*$	0,027
S-PAB (mmHg)	$39,6 (20,87)^*$	$44,5 (30,52)^*$	0,019
M-PAB (mmHg)	$27,0 \pm 7,5$	$37,1 \pm 10,9$	<0,01
E/ORT-E'	$16,64 \pm 7,91$	$22,76 \pm 7,46$	<0,01

BP-LVDV: biplan sol ventrikül diastol sonu hacmi, BP-EF: Biplan ejeşyonu fraksiyonu, LAVI: sol atriyal volüm indeksi, S-PAB: sistolik pulmoner arter basıncı, M-PAB: ortalama pulmoner arter basıncı, 6 MWT-Dis: 6 dakika yürüme testinde kat edilen mesafe, E/A: erken ve geç diastolik akım velocitiesinin orası * Mann Whitney U testi sıra ortalaması

Relationship between functional capacity and reduced right ventricular systolic function in patients with heart failure

Atakan Yanıköglü¹, Aytül Belgi Yıldırım¹, Refik Emre Altekin¹, Murathan Küçük¹, İbrahim Başarıcı¹, Barış Akdemir¹, Mustafa Serkan Karakas², Arzu Er¹, Can Ramazan Öncel¹, Mustafa Uçar¹, Hüseyin Yılmaz¹, Necmi Değer¹, İbrahim Demir¹

¹Department of Cardiology, Akdeniz University Faculty of Medicine, Antalya

²Department of Cardiology, Niğde State Hospital, Niğde

Konjestif kalp yetersizliği hastalarında anemi ile demir düzenleyici hormon "prohepcidin" arasındaki ilişki

Murat Akçay¹, Ekrem Yeter¹, Hüseyin Ayhan², Cenk Sarı², Ümrان Koçak², Tahir Durmaz¹, Telat Keleş¹, Nihal Akar Bayram², Emine Bilen², Engin Bozkurt¹

¹Yıldırım Beyazıt Üniversitesi, Ankara

²Ankara Atatürk Eğitim ve Araştırma Hastanesi, Ankara

The relationship between iron regulating hormone "prohepcidin" levels and anemia in patients with congestive heart failure

Murat Akçay¹, Ekrem Yeter¹, Hüseyin Ayhan², Cenk Sarı², Ümrان Koçak², Tahir Durmaz¹, Telat Keleş¹, Nihal Akar Bayram², Emine Bilen², Engin Bozkurt¹

¹Yıldırım Beyazıt University, Ankara

²Ankara Atatürk Education and Research Hospital, Ankara

Background: Anemia was shown to be an independent predictor of mortality in patients with congestive heart failure (CHF). There are several hypotheses to explain the mechanisms of anemia in CHF. Malnutrition, hemodilution, chronic inflammation, renal failure, iron deficiency, bone marrow depression is some of the above mentioned examples for the explanation of anemia in CHF. Hepcidin was recently shown as an important regulating hormone in iron metabolism. Lower hepcidin level was also shown to be the reason of the anemia in patients with chronic inflammation and anemia. In this study we investigated the serum prohepcidin levels and the relationship between prohepcidin levels and anemia in CHF patients with and without anemia

Methods: 47 patients with CHF (20 with anemia and 27 without anemia) and 22 healthy individuals as a control group were included in the study. Serum prohepcidin, hemoglobin (Hg) iron, iron binding capacity, ferritin levels were measured. Echocardiography was performed to evaluate LV function.

Results: Serum prohepcidin levels were nonsignificantly decreased in patients with CHF and anemia group in comparison to CHF without anemia and control group. (418.19 ± 61.1 ng/ml vs 450.6 ± 62.9 ng/ml vs 446.9 ± 77 ng/ml; $p = 0.229$). Serum hsCRP levels were higher in CHF patients. Serum hemoglobin levels were lower in the anemia group in comparison to without anemia and control group (10.7 ± 0.7 mg/dl vs 14.1 ± 1.3 mg/dl vs $14.1 \text{ mg/dl} \pm 1.6$; $p < 0.001$). Serum iron levels and transferrin saturation were also decreased in anemia group in comparison to without anemia and control group. (Table 1) Serum iron binding capacity, and ferritin levels were similar between three group. (Table 1).

Conclusion: Serum prohepcidin levels were nonsignificantly decreased in CHF patients with anemia which shows that the decrease in prohepcidin level is a compensatory mechanism to increase the absorption of iron from intestines.

Variable	CHF + Anemia	CHF-Anemia	Control	p
Left Ventricle EF	26.7 ± 8.7	21.5 ± 7.2	63.5 ± 2.5	<0,001
Prohepcidin(ng/ml)	418.19 ± 61.1	450.6 ± 62.9	446.9 ± 77	0,229
Hg (g/dL)	10.7 ± 0.7	14.1 ± 1.3	14.1 ± 1.6	<0,001
Iron (μg/dL)	30.2 ± 17.9	51.7 ± 23.9	61.2 ± 24.1	<0,001
IBC(μg/dL)	316.9 ± 75.7	298.2 ± 104.1	304.7 ± 55.9	0,750
Ferritin(ng/mL)	95 ± 77	107.8 ± 93.9	90 ± 63	0,740
TSat(%)	9.7 ± 6.0	16.3 ± 7.1	20.5 ± 9.2	<0,001
hsCRP	$3,7 \pm 1.8$	$3,3 \pm 1.9$	$2,3 \pm 1.8$	0,026

CHF:congestive heart failure; EF: ejection fraction; Hg: hemoglobin; hsCRP:high sensitive C reactive protein; IBC: iron binding capacity; ferritin: ferritin levels; TSat: transferrin saturation

P-058

Kronik kalp yetersizliği olan hastaların bir yıllık istenmeyen kardiyovasküler olaylarının tahmininde kırmızı küre dağılım genişliğinin rolü

Ahmet Kaya¹, İbrahim Halil Tanboğa², Mustafa Kurt³, Turgay İşık⁴, Yasemin Kaya⁵, Havva Yılmaz⁷, Zeki Yüksel Güneydin⁸, Özgür Enginyurt⁶, Serdar Sevimli², Enbiya Aksakal²

¹Ordu Üniversitesi Tip Fakültesi, Kardiyoloji Anabilim Dalı, Ordu

²Atatürk Üniversitesi Tip Fakültesi, Kardiyoloji Anabilim Dalı, Erzurum

³Mustafa Kemal Üniversitesi Tip Fakültesi, Kardiyoloji Anabilim Dalı, Hatay

⁴Balıkesir Üniversitesi Tip Fakültesi, Kardiyoloji Anabilim Dalı, Balıkesir

⁵Ordu Devlet Hastanesi, Dahiliye Kliniği, Ordu

⁶Ordu Üniversitesi Tip Fakültesi, Aile Hekimliği Anabilim Dalı, Ordu

⁷Erzurum Bölge Eğitim ve Araştırma Hastanesi, Dahiliye Kliniği, Erzurum

⁸Rize Kaçkar Devlet Hastanesi, Kardiyoloji Kliniği, Rize

Amaç: Kırmızı küre dağılım genişliğinin (RDW), son zamanlarda kardiyovasküler hastalıklar için prognostik önemini gösterilmiştir. Biz bu çalışmada, kronik kalp yetersizliği (KKY) olan hastalarda basal RDW düzeyleri ile bir yıllık istenmeyen kardiyovasküler olayların ilişkisini test etmeye amaçladık.

Yöntem: Çalışma popülasyonu 98 konjestif kalp yetersizliği hastasından oluşmaktadır. Bu hastaların çalışmaya dahil edilme kriteri olarak sol ventrikül ejeksiyon fraksiyonu <640 olarak belirlendi. Bu hastaların ilk çalışmaya dahil edildiği dönemde, serum RDW düzeyleri ve diğer hematolojik indexleri, risk faktörleri, biyokimyasal parametrelerin ve ayrıntılı transtorasik ekokardiyografları yapıldı. Hastalar bir yıl boyunca takip edildi. Sonlanan noktalara olarak, herhangi bir nedene bağlı ölüm, imme, kötüleşen kalp yetersizliği nedeniyle hastaneyeye yatış ve bunların birebir sonlanımı olarak tanımlandı.

Bulgular: Çalışmaya alınan hastaların yaş ortalaması 64.8 ± 11 (%70 erkek) idi. Bir yıllık takip süresince herhangi bir nedene bağlı ölüm, imme, kötüleşen kalp yetersizliği nedeniyle hastaneyeye yatış ve bunların birebir sonlanımı oranları sırasıyla %9, %22, %8 ve %36 olarak bulundu. İstenmeyen kardiyak olayların geliştiği hasta grubundaki serum RDW seviyesi olmayanlara göre belirgin şekilde daha yüksek bulundu (16.6 ± 2.2 'ye karşı 15.3 ± 2.1 , $p=0.004$). Bununla birlikte Minnesota kalp yetersizliği skoru, beyaz küre seviyesi, kan şekeri, pulmoner arter basıncı ve kronik böbrek hastalığı sıklığı da kardiyak olayların geliştiği hasta grubunda daha yüksek bulundu. Çok değişkenli lojistik regresyon analizinde sadece serum RDW seviyesi (OR:1.23 %95 güven aralığı 1.04 – 1.44, $p=0.01$) bir yıllık istenmeyen kardiyovasküler olaylar için bağımsız prediktör olarak tespit edildi.

Sonuç: KKY ile takip edilen hastalarda bir yıllık istenmeyen kardiyovasküler olayların geliştiği grupta serum RDW düzeyleri gelişmeyeşenlere göre daha yüksek bulundu. KKY olan hastalarda serum RDW seviyeleri uzun dönem istenmeyen kardiyovasküler olayların tahmininde faydalı olabilecek non-invaziv bir test olabilir.

P-059

Sistolik kalp yetmezliği olan hastalarda Atrial fibrilasyon gelişimi ile D-dimer seviyesi arasındaki ilişki

Ali Zorlu¹, Emre Akkaya², Hakan Altay³, Gokhan Bektaşoglu⁴, Kenan Ahmet Turkdogan⁶, Isa Sincer², Ertan Vuruşkan², Ziyaret Cinar⁵, Izett Tandoğan⁴, Mehmet Birhan Yılmaz⁴

¹Malatya Devlet Hastanesi, Kardiyoloji Kliniği, Malatya

²Gaziantep Devlet Hastanesi, Kardiyoloji Kliniği, Gaziantep

³Başkent Üniversitesi Tip Fakültesi, Kardiyoloji Anabilim Dalı, Ankara

⁴Cumhuriyet Üniversitesi Tip Fakültesi, Kardiyoloji Anabilim Dalı, Sivas

⁵Cumhuriyet Üniversitesi Tip Fakültesi, Biyoistatistik Anabilim Dalı, Sivas

⁶Isparta Devlet Hastanesi, Acil Bölümü, Isparta

Congestive heart failure

P-058

The role of red cell distribution width in prediction of one-year adverse cardiovascular outcomes in chronic heart failure patients

Ahmet Kaya¹, İbrahim Halil Tanboğa², Mustafa Kurt³, Turgay İşık⁴, Yasemin Kaya⁵, Havva Yılmaz⁷, Zeki Yüksel Güneydin⁸, Özgür Enginyurt⁶, Serdar Sevimli², Enbiya Aksakal²

¹Department of Cardiology, Ordu University Faculty of Medicine, Ordu

²Department of Cardiology, Ataturk University Faculty of Medicine, Erzurum

³Department of Cardiology, Mustafa Kemal University Faculty of Medicine, Hatay

⁴Department of Cardiology, Balıkesir University Faculty of Medicine, Balıkesir

⁵Department of Internal Medicine, Ordu State Hospital, Ordu

⁶Department of Family Practice, Ordu University Faculty of Medicine, Ordu

⁷Department of Internal Medicine, Erzurum Bölge Training and Research Hospital, Erzurum

⁸Department of Cardiology, Rize Kaçkar State Hospital, Rize

P-059

The relationship between D-dimer level and the development of atrial fibrillation in patients with systolic heart failure

Ali Zorlu¹, Emre Akkaya², Hakan Altay³, Gokhan Bektaşoglu⁴, Kenan Ahmet Turkdogan⁶, Isa Sincer², Ertan Vuruşkan², Ziyaret Cinar⁵, Izett Tandoğan⁴, Mehmet Birhan Yılmaz⁴

¹Department of Cardiology, Private Malatya Hospital, Malatya

²Department of Cardiology, Gaziantep State Hospital, Gaziantep

³Department of Cardiology, Baskent University Faculty of Medicine, Ankara

⁴Department of Cardiology, Cumhuriyet University Medical School, Sivas

⁵Department of Biostatistics, Cumhuriyet University Medical School, Sivas

⁶Department of Emergency, Isparta State Hospital, Isparta

Heart failure (HF) is one of the most common and leading cause of death worldwide. Clinical trials provide evidence that the development of atrial fibrillation (AF) is a marker of poor prognosis in patients with HF. Furthermore, elevated D-dimer level is associated with increased cardiovascular mortality independent of AF in HF patients. We investigated whether plasma D-dimer levels in patients with hospitalized systolic HF could predict development of AF. A total of 150 consecutive patients with sinus rhythm who admitted to the emergency department with hospitalized systolic HF were evaluated. All hospitalized patients were obtained D-dimer levels within the first 24 h following admission. Atrial fibrillation developed in 31 (20.7%) patients during follow-up period of 6.3 ± 5 months. Patients who developed atrial fibrillation had significantly increased levels of D-dimer [608 (339–1,022) ng/ml versus 1,100 (608–2,599) ng/ml, $P = 0.001$]. Optimal cut-off level of D-dimer to predict development of AF was found to be >792 ng/ml. D-dimer >792 ng/ml, right ventricular dilatation, age, systolic pulmonary pressure, left atrium size, moderate to severe tricuspid regurgitation, and beta blocker usage were found to have prognostic significance in univariate analysis. In multivariate Cox proportional-hazards model, D-dimer levels >792 ng/ml ($HR = 3.019$, $P = 0.006$), and right ventricular dilatation ($HR = 8.676$, $P = 0.003$) were associated with an increased risk of new-onset AF. In conclusion, D-dimer could predict development of AF in patients with hospitalized systolic HF.

P-060

Kırmızı hücre dağılım genişliği ve kalp hızı değişkenliği arasındaki ilişki

Fırat Özcan, Osman Turak, Sedat Avcı, Fatih Uçar, Muhammed Cebeci, Kumral Çağlı, Fatma Nurcan Başar, Derya Tok, Dursun Aras, Serkan Topaloğlu, Sinan Aydoğdu

Türkiye Yüksek İhtisas Eğitim ve Araştırma Hastanesi, Ankara

P-060

The relationship between red cell distribution width and heart rate variability in patients with systolic heart failure

Fırat Özcan, Osman Turak, Sedat Avcı, Fatih Uçar, Muhammed Cebeci, Kumral Çağlı, Fatma Nurcan Başar, Derya Tok, Dursun Aras, Serkan Topaloğlu, Sinan Aydoğdu

Türkiye Yüksek İhtisas Training and Research Hospital, Ankara

Background: Red cell distribution (RDW) is a strong prognostic marker for systolic heart failure regardless of the anemia status. Although the exact mechanism is unclear, increased RDW levels seen during inflammation and oxidative stress were suggested as possible mechanisms for this relationship. On the other hand, heart rate variability (HRV) is one of the measures that have a negative correlation with mortality in patients with systolic heart failure. To our best notice, their relationship has not been explored in the previous literature. Here we aimed to investigate their relationship.

Methods: One hundred ninety five systolic heart failure patients who had applied to our clinic for routine controls underwent Holter monitoring for HRV. HRV was calculated according to standard deviation of all normal RR intervals (SDNN). The patients were grouped into tertiles according to their RDW values. (Tertile 1: 13.4±0.4; tertile 2: 14.6±0.4; tertile 3: 17.1±0.2)

Results: SDNN levels were significantly higher in the patients of tertile 3 than those of tertiles 1 and 2 ($p < 0.001$). Upon using Pearson correlation analysis SDNN was negatively correlated with RDW levels ($r = -0.373$, $p < 0.001$) (Figure 2). In addition creatinine ($r = -0.177$, $p = 0.017$) and hemoglobin levels ($r = -0.151$, $p = 0.021$) were negatively correlated with SDNN levels.

Conclusion: In the light of our study, we imply that RDW and SDNN are inversely correlated in SHF patients. In systolic heart failure their correlation may indicate that both autonomic and hematopoietic systems affected due to circulation problems.

Fig. 1

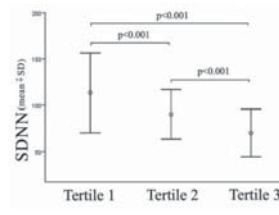
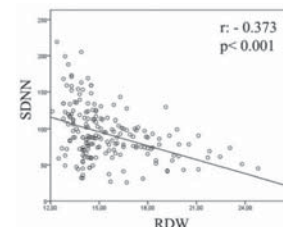


Fig. 2



P-061

Ovaryan hiperstimülasyon sendromunun nadir fakat ciddi bir komplikasyonu: Akut sol ventrikül

Halil İbrahim Erdoğan, Ahmet Özgür Başarır, Hasan Gök, Enes Elvin Gü

Necmettin Erbakan Üniversitesi, Meram Tip Fakültesi Kardiyoloji Anabilim Dalı, Konya

P-061

A rare but serious complication of ovarian hyperstimulation syndrome: acute left ventricular systolic dysfunction

Halil İbrahim Erdoğan, Ahmet Özgür Başarır, Hasan Gök, Enes Elvin Gü

Necmettin Erbakan University, Meram School of Medicine, Cardiology Department, Konya

Ovarian hyperstimulation syndrome (OHSS) is associated with ovarian enlargement and acute fluid shift from the intravascular space to the extravascular spaces following exogenous gonadotropin treatment. OHSS is classified to three forms: mild, moderate, and severe. Severe forms may manifest with thromboembolism, electrolyte abnormalities, oliguria, ascites and pleural effusion. Cardiac complications including pericardial effusion, acute myocardial infarction, and heart failure are very rare. In this case report, we present a patient with acute left ventricular dysfunction following ovulation induction. A 29-year-old woman diagnosed with primary infertility for two years presented to the emergency department with shortness of breath, swelling of the lower extremities, and progressive abdominal distension. Nine weeks before, she was treated with luteal long protocol because of PCOS and oocyte aspiration was performed after initiation of human chorionic gonadotropin. After embryo transfer, twin gestation was detected in the ultrasonographic evaluation. Transabdominal ultrasonography revealed enlarged ovaria (right ovary of 98 x 79 mm and left ovary of 71 x 78 mm), ascites, widespread fluid accumulation in the Douglas pouch and perihepatic area (Figure 1). Chest X-ray revealed pleural effusion in the left side of the lung. Paracentesis and thoracentesis were performed. Biochemical parameters were normal except for albumin which was 2.0 mg/dl (3.5-5.0 mg/dl). Human albumin infusion was given intravenously. Because of persistent lower blood pressure levels and massive ascite accumulation, termination of twin gestation was performed after the patient's consent. After paracentesis and thoracentesis, symptoms of OHSS improved. There was rapid normalization of albumin levels after intravenous human albumin transfusions. Control transabdominal ultrasound revealed markedly decreased fluid levels in the Douglas pouch and perihepatic area. Although laboratory findings and clinical signs were improved, shortness of breath was persisted. Transthoracic echocardiography was performed and revealed ejection fraction (EF) of 35% and mild pericardial effusion (Figure 2). The diagnosis of systolic dysfunction of the heart was made. Twelve-lead electrocardiogram was normal without ischemic changes. Cardiac biomarkers (CK-MB and troponin) were within normal limits. She denied a diagnosis of heart failure before pregnancy. Therefore the occurrence of acute left ventricular systolic dysfunction was attributed to OHSS and routine treatment of heart failure was started. The symptoms of breathlessness were markedly decreased. Transabdominal ultrasound performed the day before discharge was normal. Control transthoracic echocardiography performed after month of discharge and revealed improved left ventricular systolic function with EF of 50%.



Fig. 1. Transabdominal ultrasonography showing polycystic ovaria (arrow) and massive fluid distribution.



Fig. 2. Transthoracic echocardiography was performed and revealed ejection fraction (EF) of 35% and mild pericardial effusion

Konjestif kalp yetersizliği

P-062

Kalp yetmezliği olan hastalarda ortalama trombosit hacminin atrial fibrilasyon ile ilişkisinin değerlendirilmesi

Gülaçan Tekin¹, Yusuf Kenan Tekin², Ali Rıza Erbay¹

¹Bozok Üniversitesi Tıp Fakültesi, Kardiyoloji Anabilim Dalı, Yozgat

²Yozgat Devlet Hastanesi, Acil Servis, Yozgat

Giriş: Artmış ortalama trombosit hacminin (OTH) kardiyovasküler hastalıklar ile ilişkili olduğu ve kötü прогноз belirleyicisi olduğu düşünülmektedir. Ayrıca OTH'ın atrial fibrilasyon (AF) ile ilişkili olduğu gösterilmiştir. Bu çalışmada kronik kalp yetmezliği (KY) olan hastalarda AF ile OTH arasındaki ilişkiyi araştırmayı amaçladık.

Yöntem-Gereçler: Çalışmaya kronik KY kliniği olan ve ekokardiografi ile ejeksiyon fraksiyonu (EF) %40 ve altında tespit edilen toplam 276 hasta alındı. Daha önce koroner anjiyografileri yapılan ve anjiyografik olarak koroner arterlerde %50'nin üzerinde darlık tespit edilen veya elektrokardiografik ve ekokardiografik olarak iskeletik KY tespit edilen hastalar çalışmaya alındı. Ciddi kalp kapak hastalığı, malignite, hematolojik hastalık, kronik böbrek yetmezliği, iskeletik olmayan KY, akut enfeksiyonu olan hastalar çalışma dışına bırakıldı.

Bulgular: AF olan 78 hasta (48 erkek, 30 kadın, ortalama yaşı: 71±8 yıl) ve AF olmayan 198 hasta (83 erkek, 115 kadın, ortalama yaşı: 70±8 yıl) çalışmaya alındı. Hastaların klinik özellikleri, hematolojik ve ekokardiografik değerler tablo 1'de gösterilmiştir (Tablo 1). Hastaların yaş, cinsiyet, hipertansiyon, diabetes mellitus, hipertansiyon ve sigara içiciliği yönünden gruplar arasında istatistiksel olarak anlamlı fark yoktu ($p>0.05$). AF olan grupta EF daha düşük ($p<0.004$), sol atriyum çapı (SAÇ) ($p<0.001$), sol ventrikül diastol sonu çapı (SVDS) ($p<0.001$) ve sol ventrikül diastol sonu hacim (SVDH) ($p<0.009$) artmış bulundu. OTH değerleri AF olan grupta istatistiksel olarak yükseldi ($p=0.03$) iken beyaz kan hücreleri ve trombosit sayısı yönünden gruplar arasında istatistiksel olarak anlamlı fark yoktu ($p>0.05$). Yapılan lojistik regresyon analizinde sadece SAÇ bağımsız olarak AF ile ilişkili bulunurken ($p<0.001$), OTH ile AF arasında ilişki saptanmadı ($p=0.26$).

Sonuç: Çalışmamızda AF olan kronik KY hastalarında OTH artmış olarak bulundu fakat yapılan lojistik regresyon analizinde OTH ile AF arasında bağımsız ilişki tespit edildi.

Tablo 1. KY olan hastalarda AF olan ve olmayan hastaların klinik, ekokardiografik ve hematolojik değerlerinin karşılaştırılması

Değişkenler	AF (n=78)	AF olmayan (n=198)	Absolute value difference between patients	P değeri
Yaş(yıl)	71±8	70±8	0.14	0.49
Cinsiyet(İşlenen n%)	50(64.1)	71(35.9)	1.45(5.05)	0.69
Hipertansiyon n(%)	55(70.7)	146(74.4)	9.14(4.7)	0.41
Diabet mellitus n(%)	19(24.4)	34(17.6)	5.3(2.8)	0.33
Sigara (%)	41(52.6)	89(45.2)	22.6(12.4)	0.21
Beyaz kan hücresi(x103/µl)	7.71±0.85	7.60±2.77	0.83	0.83
Transtrombolik (10³/µl)	220±43	238±43	8.2(4.5)	0.29
Ortalama trombosit hacmi(10³/µl)	8.08±0.24	8.73±1.07	0.65(0.83)	0.03
Glikoz(mmol/L)	112±37	114±41	2.0(11.3)	0.71
Total kolesterol(mg/dL)	171±44	173±42	2.0(12.9)	0.93
HDL kolesterol(mg/dL)	51±10	51±13	0.3(3.3)	0.87
Ejeksiyon Fraksiyonu(%)	33±4	35±5	2.0(1.9)	0.004
SAÇ(mm)	44±6	58±6	14.0(12.6)	<0.001
SVDS(cm)	56±7	51±6	-5.0(11.4)	<0.001
SVDH(cm)	157±45	153±45	-4.0(41.4)	0.50

SAÇ: Sol atriyum çapı, SVDS: Sol ventrikül diastol sonu çapı, SVDH: Sol ventrikül diastol sonu hacim, AF: Atrial fibrilasyon

Tablo 2. Lojistik regresyon analizi

Değişkenler	Odds oranı	%95 güven aralığı	P değeri
Yaş(yıl)	1.02	0.97-1.06	0.41
Hipertansiyon n(%)	0.81	0.36-1.80	0.61
Diabet Mellitus n(%)	0.44	0.15-1.24	0.12
Beyaz kan hücreleri(x10³/µl)	1.18	0.98-1.42	0.06
Trombosit(x10³/µl)	0.99	0.59-1.00	0.56
Ortalama trombosit hacmi(10³/µl)	1.21	0.86-1.71	0.26
Total kolesterol(mg/dL)	1.00	0.59-1.01	0.58
Triglisler(mg/dL)	1.00	0.59-1.00	0.94
Ejeksiyon Fraksiyonu(%)	0.99	0.93-1.06	0.85
SAÇ(mm)	6.06	2.82-13.03	<0.001
SVDS(cm)	1.66	0.65-2.1	0.28
SVDH(cm)	0.99	0.97-1.00	0.19

SAÇ: Sol atriyum çapı, SVDS: Sol ventrikül diastol sonu çapı, SVDH: Sol ventrikül diastol sonu hacim

Congestive heart failure

P-062

Evaluation of the association between mean platelet volume and atrial fibrillation in patients with heart failure

Gülaçan Tekin¹, Yusuf Kenan Tekin², Ali Rıza Erbay¹

¹Department of Cardiology, Bozok Faculty of Medicine, Yozgat

²Emergency Department, Yozgat State Hospital, Yozgat

P-063

Kalp yetersizliği hastalarında glikoz-insülin-potasyum infüzyonunun P dalga dispersiyonu üzerine etkisi

Süleyman Ercan¹, Muhammed Oylumlu², Mustafa Oylumlu³, Serdar Soydinc³, Vedat Davutoğlu¹

¹Gaziantep Üniversitesi Tıp Fakültesi, Kardiyoloji Anabilim Dalı, Gaziantep

²Gaziantep Devlet Hastanesi, Kardiyoloji Kliniği, Gaziantep

³Dicle Üniversitesi Tıp Fakültesi, Kardiyoloji Anabilim Dalı, Diyarbakır

Amaç: Kalp yetersizliği seyrinde izlenen atrial fibrilasyon (AF) прогноз ve fonksiyonel kapanış üzerinde olumsuz etkileri neden olmaktadır. P dalga dispersiyonu (PD) AF gelişimini predikte eden önemli parametrelerden biri olarak kabul görmüştür. Glikoz-insülin-potasyum (GİK) infüzyonunun hemodinamik ve metabolik olumlu etkileri bilinmemektedir. Çalışmamızda kalp yetersizliği olan hastalarda GİK infüzyonun P dalga dispersiyonu üzerine olan etkisi araştırıldı.

Materyal-Metod: Çalışmamızda kalp yetersizliği ve düşük sol ventrikül ejeksiyon fraksiyonu (EF=%40) ile yatırılan 30 hasta dahil edildi. Hastalardan rastgele seçilen onbeşine (Grup I) 3 gün süreyle her gün 8 saatlik infüzyon şeklinde GİK溶液 (%20'lik 500 cc glukoz içinde 20 Ü insülin, 60 mEq KCL) verildi. Kontrol grubu (Grup II) olarak alınan diğer hastaya konvansiyonel tedaviye ek olarak yine aynı süre ve dozda %0.9'lu NaCl infüzyonu uygulandı. Hastaların tümünden çalışma başlangıcı ve sonunda P dalga dispersiyonu içinden 12 derivasyonlu elektrokardiografi kaydı alındı.

Bulgular: Grup I hastalar ile Grup II hastalar arasındaki P dalga dispersiyonu çalışma öncesi sırasıyla (19.4 ± 7.5 ve 19 ± 6.3 ($p=0.05$) hesaplandı. Grup I'de GİK infüzyonu sonrasında ölçülen P dalga dispersiyonu 13 ± 6.5 hesaplandı. Grup II de ise verilen %0.9 NaCl solüsyonu sonrasında P dalga dispersiyonu 20.4 ± 6.4 olarak hesaplandı. Her iki grubun çalışma sonrası hesaplanan P dalga dispersiyonunda önemli istatistiksel fark bulundu ($p=0.001$) ve GİK alan grupta P dalga dispersiyonu önemli ölçüde kısalmaktadır.

Sonuç: Çalışmamızda göre hastaların hemodinamik parametrelerinde bozulmaya, kalp yetersizliğinin ağırlaşmasına ve mortalite artmasına neden olan AF'nın bir prediktörü olan PD, GİK solüsyonu ile azaltılmıştır. GİK solüsyonu özellikle koroner yoğun bakım ünitesinde takip edilen hastalarda kardiyometabolik destek tedavisi olarak göz önünde bulundurulmalıdır.

P-063

The effect of the glucose-insulin-potassium solution on the P-wave dispersion of the heart failure patients

Süleyman Ercan¹, Muhammed Oylumlu², Mustafa Oylumlu³, Serdar Soydinc³, Vedat Davutoğlu¹

¹Department of Cardiology, Gaziantep University Faculty of Medicine, Gaziantep

²Department of Cardiology, Gaziantep State Hospital, Gaziantep

³Department of Cardiology, Dicle University Faculty of Medicine, Diyarbakır

Tablo 1. Çalışmaya alınan grupların demografik ve klinik özelliklerini

	Grup I	Grup II	P değeri
Yaş	65.7±9	64.0±9	AD
Hipertansiyon	8	8	AD
KAH	8	7	AD
Sigara	5	4	AD
LDL (mg/dl)	104.2±32.1	102.1±17.0	AD
K (mmol/l)	4.42±0.4	4.64±0.5	AD
EF (%)	34.3±6	32.0±6	AD
KB sistolik (önce)	120.3±11.4	119.0±9.2	AD
KB sistolik (sonra)	118±12.7	118±4.9	AD
Nabız (atım/dak.) (önce)	84±7	85±6	AD
Nabız (atım/dak.) (sonra)	83±8	83±4	AD
β-Blokör alanları	5	6	AD
ACE-i alanları	13	14	AD
Statin alanları	8	7	AD
Digoksin alanları	3	4	AD
P dalga dispersiyonu (önce)	19.4±7.5	19±6.3	AD
P dalga dispersiyonu (sonra)	13±6.5	20.4±6.4	P=0.001

ACE-i: anjiotensin dönüştürücü enzim inhibitörü, AD: anlamlı değil, EF: ejeksiyon fraksiyonu, HDL: yüksek dantelli lipoprotein, K: potasyum, KAH: koroner arter hastalığı, KB: kan basinci LDL: küçük dantelli lipoprotein.

P-064

Akut kalp yetmezliğinde; nötrofil lenfosit oranının hastane içi mortaliteyi belirlemeye kullanımı

Murat Turfan, Ercan Erdoğan, Abdurrahman Tasal, Mehmet Akif Vatankulu, Parviz Jafarov, Osman Sönmez, Gökhan Ertaş, Ahmet Bacaksız, Ömer Göktekin

Bezmialem Vakıf Üniversitesi Tip Fakültesi, Kardiyoloji Anabilim Dalı, İstanbul

P-064

Usefulness of neutrophil to lymphocyte ratio in predicting in hospital mortality in patients with acute heart failure

Murat Turfan, Ercan Erdoğan, Abdurrahman Tasal, Mehmet Akif Vatankulu, Parviz Jafarov, Osman Sönmez, Gökhan Ertaş, Ahmet Bacaksız, Ömer Göktekin

Bezmialem Vakıf University Faculty of Medicine, Department of Cardiology, İstanbul

Background: Previous studies have demonstrated the role of inflammation in acute heart failure (AHF). Neutrophil to lymphocyte ratio (NLR) was found to be a useful inflammatory marker to predict adverse outcomes. This study tested the hypothesis that in patients with AHF, the NLR is a predictor of in hospital mortality.

Methods-Results: The study cohort consisted of 162 AHF patients with EF <50%. The primary end point was in-hospital mortality. Patients were stratified according to quartiles of the mean neutrophil/lymphocyte ratio. Relative to patients in the other three lower NLR quartiles, patients in the highest quartile were more likely to die during hospitalization. By multivariate Cox regression analysis including baseline demographic, clinical, and biochemical covariates, the NLR in the highest quartile remained an independent predictor of mortality ($\beta: 2,997$ p: 0,025).

Conclusion: An elevated NLR in patients with AHF is associated with an increased risk of in hospital mortality. This simple test may add to risk stratification of these high-risk patients.

P-065

Sol dal bloğunda EKG bulguları ve sol ventrikül ejeksiyon fraksiyonunun ilişkisi

Ali Deniz, Çağlar Özmen, Oğuz Akkuş, Onur Kaypaklı, Halil Aktaş, İlayda Gülb Berk, Mehmet Kanadaşı, Mesut Demir, Ayhan Usal

Çukurova Üniversitesi Tip Fakültesi Kardiyoloji Anabilim Dalı, Adana

Amaç: Sol dal bloğu (LBBB) olan hastaların bir kısmında sol ventrikül ejeksiyon fraksiyonu (EF) azalmış olmasına karşın, bazı hastalarda EF normaldir ve alte saptanabilir bir yapısal kalp hastalığı bulunmaktadır. Bu çalışmanın amacı EKG'de LBBB olan bireylerde yapısal kalp hastalığı olan hastaların saptanmasına yardımcı olan EKG bulgularının belirlenmesidir.

Yöntem: Çalışmaya kardiyoloji polikliniğine başvuran ve EKG'de sinitrit ritmi ve LBBB olan 69 hasta alınmıştır. Çalışmaya alınan hastaların öyküleri, fizik muayene, laboratuvar ve ekokardiografik bulgular kaydedilmiştir. Hastalar EF $>=50\%$ (grup 1) ve EF $<50\%$ (grup 2) olmak üzere iki gruba ayrılmıştır. Gruplar arasında EKG bulguları karşılaştırılmıştır.

Bulgular: Çalışmaya alınan 69 hastanın 24'ünde (9 erkek, 15 kadın) EF $>=50\%$ iken 45 hastada (33 erkek, 12 kadın) EF $<50\%$ 'dır. Grup 2'de EF düşüklüğünün nedeni 29 hastada iskemik kalp hastalığı, 16 hastada iskemik olmayan kardiyomiopati olarak saptanmıştır. Grupların yaş ortalamaları arasında anlamlı fark yoktur (Grup 1: 64±13 yıl, grup 2: 65±11 yıl, p=0,71). Kalp hızı her iki grupta benzer olarak bulunmaktadır. Grup 1'de QT aralığı 454±45 ms, grup 2'de ise 464±44 ms'dır (p=0,37). QRS kompleksi süresi ile EF arasında negatif korelasyon olduğu görülmüştür ($r=-0,438$, $p<0,001$). QRS süresi grup 1'de 136±17 ms, grup 2'de ise 155±24 ms olarak bulunmuştur ($p=0,001$). QRS süresinin 140 ms ve üzerinde olmasının %75 duyarlılık ve özgüllük ile EF'nin %50'nin altında olduğunu belirlediği saptanmıştır.

Sonuç: EKG'de LBBB olan hastalar içerisinde EF ile ilgili bilgi veren en önemli bulgu QRS kompleksinin süresidir. QRS süresinin 140 ms'nin üzerinde olması durumunda EF'nin azalmış olabileceği düşünülmelidir.

P-065

The relationship between the ECG findings at the left bundle branch block and the left ventricular ejection fraction

Ali Deniz, Çağlar Özmen, Oğuz Akkuş, Onur Kaypaklı, Halil Aktaş, İlayda Gülb Berk, Mehmet Kanadaşı, Mesut Demir, Ayhan Usal

Department of Cardiology, Çukurova University Faculty of Medicine, Adana

P-066

Levosimendan tedaviyle akut miyokarditte hızlı toparlanma: İki olgu sunumu

Süleyman Ercan¹, Vedat Davutoglu¹, Musa Cakici², Emre Kus³, Hayri Alici¹, Ibrahim Sarı¹

¹Gaziantep Üniversitesi Tıp Fakültesi Kardiyoloji Anabilim Dalı, Gaziantep

²Nizip Devlet Hastanesi, Kardiyoloji Kliniği, Gaziantep

³Şehitkamil Devlet Hastanesi, Kardiyoloji Kliniği, Gaziantep

P-066

Rapid recovery from acute myocarditis under levosimendan treatment: report of two cases

Süleyman Ercan¹, Vedat Davutoglu¹, Musa Cakici², Emre Kus³, Hayri Alici¹, Ibrahim Sarı¹

¹Gaziantep University, School of Medicine, Cardiology Department, Gaziantep

²Nizip State Hospital, Cardiology Department, Gaziantep

³Sehitkamil State Hospital, Cardiology Department, Gaziantep

Objectives: Acute viral myocarditis (AVM) is an inflammatory heart disease that may lead to acute heart failure caused by cardiomyocyte loss. AVM may result in fatal outcome due to hemodynamic compromise. There is no specific treatment for AVM. Treatment is generally same as the treatment of conventional heart failure. Levosimendan is a new molecule with inotropic and vasodilator effect and is widely used for acute decompensated heart failure.

Details of the cases:

Case 1: A 48-years-old, previously healthy male patient admitted to our clinic with complaints of acute onset of rest dyspnea and orthopnea, started the day before. Cardiac chambers were enlarged on echocardiography with global hypokinesia and ejection fraction (EF) was 25%. The patient was diagnosed as AVM complicated with decompensated heart failure. Continuous infusion of 0.2 ug/kg/min levosimendan for 24 hours with treatment of conventional heart failure. Echocardiographic follow-up revealed a rapid improvement in left ventricular EF (50%) after 24 hours.

Case 2: A 33-years-old male patient admitted to our clinic with new onset shortness of breath and palpitation complaints. Echocardiography revealed enlarged left heart cavities with global hypokinesia (EF was 25%). The patient was diagnosed as AVM complicated with decompensated heart failure. Continuous infusion of 0.2 ug/kg/min levosimendan for 24 hours with treatment of conventional heart failure. Echocardiography revealed dramatic improvement of left ventricular systolic function (EF= 55%) 24 hours later. What is new and CONCLUSION: To our knowledge, there is no report or study on levosimendan therapy for AVM in humans to date. Herein, we share two cases that revealed dramatic improvement in the myocardial function with levosimendan usage during the early phase of AVM.

P-067

Akut kalp yetmezliğinde, hastane içi mortalite ve gama glutamyl transferaz ilişkisi

Murat Turfan, Abdurrahman Tasal, Ercan Erdoğan, Mehmet Akif Vatankulu, Parviz Jafarov, Osman Sönmez, Gökhan Ertaş, Ahmet Bacaksız, Mehmet Ergelen, Ömer Göktekin

Bezmialem Vakıf Üniversitesi Tıp Fakültesi, Kardiyoloji Anabilim Dalı, İstanbul

P-067

Relation between gamma-glutamyl transferase and in hospital mortality in acute heart failure patients

Murat Turfan, Abdurrahman Tasal, Ercan Erdoğan, Mehmet Akif Vatankulu, Parviz Jafarov, Osman Sönmez, Gökhan Ertaş, Ahmet Bacaksız, Mehmet Ergelen, Ömer Göktekin

Department of Cardiology, Bezmialem Vakıf University, Faculty of Medicine, İstanbul

Background: Gamma-glutamyl transferase (GGT) is an enzyme responsible for the extracellular catabolism of antioxidant glutathione and a potential risk indicator of cardiac mortality. We studied the association between baseline GGT and in hospital mortality in acute heart failure (AHF) patients.

Methods-Results: The study cohort consisted of 129 AHF patients with EF <50%. The primary end point was in-hospital mortality. Patients were divided into four groups according to the quartiles of circulating levels of GGT upon presentation. The relationship between GGT and in hospital mortality was tested using Cox regression models, adjusting for clinical characteristics, echocardiographic findings and serum creatinine levels. After adjustment for possible confounders, patients at the highest GGT quartile were at significantly related (β : 4,551, p: 0,004) with in-hospital mortality.

Conclusion: Serum GGT level was independently associated with in – hospital mortality in AHF patients. An increase in GGT levels during hospitalization also predicts adverse clinical outcomes.

P-068

Kalp yetmezliğinin nadir bir komplikasyonu “Internal Juguler Ven Trombozu”

Lütfü Bekar¹, Ahmet Cemal Pazarlı², Abulkadir Geylani Sahan³, Orhan Onalan⁴

¹Tokat Devlet Hastanesi, Kardiyoloji Kliniği, Tokat

²Elbistan Devlet Hastanesi, Göğüs Hastalıkları Kliniği, Kahramanmaraş

³Seyrantepe Hastanesi, İç Hastalıkları Anabilim Dalı, Diyarbakır

⁴Seyrantepe Hastanesi, Kardiyoloji Kliniği, Diyarbakır

P-068

A rare complication of heart failure “Internal Juguler Vein Thrombosis”

Lütfü Bekar¹, Ahmet Cemal Pazarlı², Abulkadir Geylani Sahan³, Orhan Onalan⁴

¹Tokat State Hospital, Cardiology Clinic, Tokat

²Elbistan State Hospital, Pulmonary Medicine Clinic, Elbistan, Kahramanmaraş

³Seyrantepe Hospital, Internal Medicine Clinic, Diyarbakır

⁴Seyrantepe Hospital, Cardiology Clinic, Diyarbakır

A male patient aged 72 years presented to our hospital with the complaints of shortness of breath and swelling of the neck and legs. The patient had not any known additional risk factor except hypertension. Blood pressure was 150/80 mmHg and pulse was 110 beats/min. On the physical examination; jugular veins became prominent, and the legs have edema. On the auscultation; respiratory sounds were increased at the right and cardiac sounds came deeply. On ECG examination, non-specific ST and T wave changes were found in sinus rhythm with total voltage loss. Left ventricular functions were globally hypokinetic and ejection fraction was calculated as 45-50% on the transthoracic echocardiographic evaluation. There were dilatation of the right cardiac cavities, severe pulmonary hypertension (systolic pulmonary artery pressure: 70 mmHg), severe tricuspid regurgitation and pericardial effusion. Contrast enhanced thoracic computed tomographic evaluation was revealed dilatation of the right cardiac cavities, pericardial effusion and right pleural effusion. A crescent-shaped thrombus partially obstructing the lumen was observed in the right internal jugular vein. No thrombus was observed in the pulmonary artery and its branches (Picture 1,2). Conditions might lead to thrombus formations (malignancy, hematologic disorders) were studied, but no factor was found out of the heart failure. In addition to heart failure, the patient was put on anticoagulant therapy and taken under follow-up. Internal jugular vein thrombosis is a very rare condition. This is most commonly caused by central vein catheterization, although may develop due to jugular surgery, traumas, hematologic disorders or malignancies. Heart failure-related venous thrombi are found more frequently in the lower extremities, while thrombus development in internal jugular vein is a very rare event. There are only few cases in the literature. The possible mechanism of thrombus formation is low flow and low flow rate. Anticoagulant therapy must be administered in these patients.



Picture 1. Dilatation, pericardial effusion and right pleural effusion are observed in the right cardiac cavities.



Picture 2. A crescent-shaped thrombus partially obstructing the lumen was observed in the right internal jugular vein.

P-069

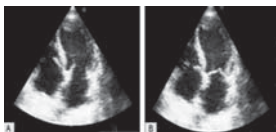
Gravesli genç kadın hastada Takotsubo kardiyomiyopati

S. Selim Ayhan¹, Mehmet Fatih Özlu¹, Serkan Öztürk¹, Oğuz Dikbaş², Mehmet Yazıcı¹

¹Abant İzzet Baysal Üniversitesi Bolu Tip Fakültesi Araştırma ve Uygulama Hastanesi, Kardiyoloji Anabilim Dalı, Bolu

²Abant İzzet Baysal Üniversitesi Bolu Tip Fakültesi Araştırma ve Uygulama Hastanesi, Endokrinoloji Anabilim Dalı, Bolu

Takotsubo kardiyomiyopati, sol ventrikülün apikal ve mid segmentlerinin geçici sistolik disfonksiyonuya karakterize, tıkanıcı koroner arter hastalığının yokluğundan akut miyokard enfarktüsünü taklit eden bir hastalıktır. Başlangıç genellikle emosyonel veya fiziksel stresi takiben olur. Patogenezinde, aşırı salınan katekolaminerle sekonder gelişen koroner arter spazmi ve mikrovasküler disfonksiyonun rol oynadığı düşünülmektedir. Takotsubo kardiyomiyopatili hastaların coğullanması postmenopozal kadınlar oluşturur. Mekanizması tam olarak bilinmemekte düşük östrojen seviyelerinin muhtemel rolü olduğu düşünülmektedir. Bildiğimiz kadaryalı literatürde şu ana kadar genç kadın hastada takotsubo kardiyomiyopati vakası bildirilmemiştir. 31 yaşında kadın hasta yoğun emosyonel stres sonrası başlayan sikişirme ve göğüs ağrısı şikayetleri ile hastaneye başvurdu. Özegemiyinde bilinen herhangi bir hastalığı yoktu. Fizik muayenesinde TA: 110/70 mmHg, Nbz: 144 ad/dk idi. Kardiyovasküler sistemi muayenesinde taşıkardı dışında patoloji yoktu. Diğer sistem muayeneleri normaldi. Elektrokardiografide sinusuz taşıkardı izlendi. Transtorasik ekokardiyografisinde sol ventrikül fonksiyonlarında mid-apikal segmentler akiyinik, basal segmentler normokinetik ve EF % 25 olaraq değerlendirildi (Şekil 1). Takiplerinde kardiyal enzimleri CK-MB: 34.3 Troponin I: 2.04 düzeyine kadar yükseldi. Koroner anjografide koronerler normal olarak tespit edildi (Şekil 2). Hastaya asefisalitistik asite ilave olarak digoxin 0.5 mg 1x1, metoprolol 50 mg 1x1 ve enalapril 10 mg 2x1 başlandı. Takiplerinde T3: 13.0 pg/ml, T4: >6 pg/ml, tSH: 0.065 uU/ml gelgen hastaya Tiroid USG planlandı. Tiroid nodül ile uyumlu görünüti ve Antitiroglobulin antikor <20 IU/ml, antiTPO >1000 IU/ml, Tiroglobulin 83.0 ng/ml olarak tespit edilen hastaya tiroid sintigrافisi planlandı. Tiroid sintigrafisi Graves ile uyumlu geldi. Hastada propiltiourasil 3x2 olaraq mevcut tedavide eklendi. İki hafta sonraki kontrol ekokardiyografisinde sol ventrikül sistolik fonksiyonlarının tamamen düzeldiği tespit edildi. Takotsubo kardiyomiyopatini tedavide genellikle destek tedavisiidir. Tedavi beta blokerler, ACE inhibitörleri ve ciddi kalp yetersizliği bulguları varsa diüretiklerden oluşmaktadır. Prognоз genellikle iyidir. Hastamızda da olduğu gibi tam düzelleş 2-8 hafta içerisinde beklenir. Hipertiroidizmle ilişkili takotsubo kardiyomiyopati vakası şu ana kadar literatürde altı tane bildirilmiştir. Hastamızda tirotoksikozun olmasından Takotsubo kardiyomiyopatije zemin hazırlamıştır. Fakat, hipertiroidi hastalarda katekolamin seviyelerinin genellikle normal veya düşük olduğu bilinmektedir.



Şekil 1. 2D-Ekokardiyografi (A: diyistol; B: sistol) sol ventrikül mid ve apikal segmentlerde akinezi görülmektedir.



Şekil 2. Sağ ve sol koroner anjiyografi (A, B) normal koroner arterleri göstermektedir.

P-069

Tako-tsubo cardiomyopathy in a young female patient with Graves' disease

S. Selim Ayhan¹, Mehmet Fatih Özlu¹, Serkan Öztürk¹, Oğuz Dikbaş², Mehmet Yazıcı¹

¹Department of Cardiology, Abant İzzet Baysal University Bolu Faculty of Medicine, Research and Application Hospital, Bolu

²Department of Endocrinology, Abant İzzet Baysal University Bolu Faculty of Medicine, Research and Application Hospital, Bolu

P-070**İtrakonazol kullanımına bağlı kalp yetmezliği**Hızır Okuyan¹, Cihan Altın²¹Gazi Üniversitesi Tip Fakültesi, Kardiyoloji Anabilim Dalı, Ankara²Başkent Üniversitesi Tip Fakültesi, Kardiyoloji Anabilim Dalı, Ankara

Giriş: İtrakonazol aspergillusoz, blastomikozis, histoplazmозis ve onikomikozis tedavisinde kullanılan geniş spektrumlu bir antifungal ajandır. Nadir olarak istenmemeyen kardiyovasküler etikller yol açmaktadır. Bir itrakonazolon kalp yetmezliğine neden olduğu bir vakayı takdim etmektedir.

Vaka: 60 yaşında kadın hasta 5 gündür olan nefes darlığı ve bacaklıda sislik şikayetleri ile kardiyoloji polikliniğine başvurdu. Dermatoloji uzmanı tarafından onikomikozis tanısı ile 5 gün önce oral 2x200 mg itrakonazol tedavisi başılmıştı. Fizik muayenesinde tansiyonu: 130/80 mmHg, kalp muayenesi normal olup her iki aksigere bazallarında solunum sesleri azalmış, bilateral iki pozitif pretribial ödem saptandı. Elektrokardiografi ve ekokardiyografi normal sınırlarda idi. Posterior-anterior aksigere garfide sağ alt zonda tüllenme şeklinde dansite artışı ve sağ sinüsste kütüleşme izlendi. Hastanın daha önce herhangi bir sağlık problemi yaşamamış ve itraconazol başlanmasından sonra Framingham çalışmamasına göre 1 major 3 minor kriteri sağlayan şikayetlerinin ve bulgularının olması nedeni ile hastada itrakonazole bağlı kalp yetmezliği düşünüldü (1). Hastanın almakta olduğu itrakonazol kesildi ve hastaya oral furosemid 1x40 mg başlandı. Hastanın kliniği bir hafta içerisinde düzeldi. Yapılan kontrol ekokardiyografi yine normal saptandı.

Tartışma: Azol antifungallerden olan ve sistemik olarak kullanılan bir ajan olan itrakonazol siklikla bulantı ve kusmaya neden olur ve bu semptomlar doza bağımlıdır. Diğer görülen yan etkiler özellikle yüksek dozlarında (>400 mg/gün) hipokalemeli, alanin aminotransferaz- aspartat aminotransferaz yükselmesi,gastrointestinal rahatsızlıklar, ishal ve döküntü olabilmektedir (2, 3). Daha nadiren konjestif kalp yetmezliği (4), hipertansiyon (5), atriyal fibrilasyon (6), ventriküler ekstrasistol (7) gibi aritmilere neden olmaktadır. Itrakonazolinin hangi mekanizma ile kalp yetmezliğini yaptığı bilinmemektedir. Hastamızda kalp yetmezliğine yol açabilecek hipertansiyon, kardiyomyopati ve diğer olaş faktörler mevcut değildi. Koroner arter hastalığı ise hastada angina olmaması ve yapılan stress EKG testi negatif bulunması ile elime edildi. Itrakonazolinin başlanması ile semptom ve bulguların olması, kesilmesi ile ise semptom ve bulguların kaybolması hastada itrakonazole bağlı kalp yetmezliğini göstermektedir. 1992 yılında Food and Drugs Administration (FDA) tarafından 2001 yılına kadar itrakonazolin neden olduğu 58 olası konjestif kap yetmezliği vakası bildirilmiştir (3). Bu nedenle FDA tarafından sol ventrikül fonksiyonu bozuk hastalarda kullanımı belirtilmekte beraber bizim vakamızda olduğu üzere sol ventrikül fonksiyonları normal hastalarda kalp yetmezliği gelişebilmektedir. Klinisyenler, kalp yetmezliği şikayetleri ile gelen hastalarda yeni başlanmış ilaç sorumlumasını mutlaka yapmalı ve bu ilaçlardan birinin de itrakonazol olduğunu aklında bulundurmaları diler.

Epidemiyoloji**P-071****Yüksek duyarlılıklı C-reaktif protein metabolik sendrom ile ilişkilidir**Yasin Türker¹, Ali Kutluçan², Hilmi Demirin³, Yusuf Aslantas¹, Serkan Bulur¹, Hakan Tibilli¹, Sinan Albayrak¹, Yasemin Turker⁴, Melih Engin Erkan⁵, Hakan Ozhan¹¹Düzce Üniversitesi Tip Fakültesi, Kardiyoloji Anabilim Dalı, Düzce²Düzce Üniversitesi Tip Fakültesi, İç Hastalıkları Anabilim Dalı, Düzce³Düzce Üniversitesi Tip Fakültesi, Biyokimya Anabilim Dalı, Düzce⁴Aile Hekimliği Merkezi, Düzce⁵Düzce Üniversitesi Tip Fakültesi, Nükleer Tip Anabilim Dalı, Düzce**Congestive heart failure****P-070****Itraconazole induced heart failure**Hızır Okuyan¹, Cihan Altın²¹Department of Cardiology, Gazi University Faculty of Medicine, Ankara²Department of Cardiology, Başkent University Faculty of Medicine, Ankara**Epidemiology****P-071****High sensitivity C-reactive protein is associated with metabolic syndrome**Yasin Türker¹, Ali Kutluçan², Hilmi Demirin³, Yusuf Aslantas¹, Serkan Bulur¹, Hakan Tibilli¹, Sinan Albayrak¹, Yasemin Turker⁴, Melih Engin Erkan⁵, Hakan Ozhan¹¹Düzce University, Department of Cardiology, Duzce²Düzce University, Department of Internal Medicine, Duzce³Düzce University, Department of Biochemistry, Duzce⁴Family Medicine Center, Duzce⁵Düzce University, Department of Nuclear Medicine, Duzce

Objective: The metabolic syndrome is closely associated with atherosclerotic risk factors and increased mortality. The utility of as high sensitivity C-reactive protein (hs-CRP) in predicting cardiovascular risk has been demonstrated in many studies. Some previous studies showed that metabolic syndrome is also considered a proinflammatory state, and measurement of inflammatory markers like hs-CRP might improve the prediction of cardiovascular disease in patients with metabolic syndrome. The relation between metabolic syndrome and hs-CRP has not been clarified yet. Therefore, the aim of this study was to evaluate the association between hs-CRP and metabolic syndrome in a large scale community-based cohort.

Methods: The MELEN Study is a prospectively designed survey on the prevalence of cardiometabolic risk factors in Turkish adults. A total of 2298 individuals with a mean age of 50 (age range 18-92) were interviewed. Of all, 98 were excluded due to inadequate sample volume. Metabolic syndrome were identified when three out of the five criteria of the National Cholesterol Education Program Adult Treatment Panel (ATP III) were met, modified for Turkish Adult Risk Factor study cut points. Six hundred three (30.2%) had metabolic syndrome and the rest 1397 (69.9%) individuals served as the control group. Using an IMMULITE® 1000 Autoanalyzer (Siemens, Germany), with chemiluminescent immunoassay, serum levels of hsCRP were measured.

Results: Baseline demographic, clinical and laboratory characteristics of the study population are listed in Table 1. Hs-CRP levels were significantly higher in metabolic syndrome group than control group (4.70 ± 0.42 vs 4.48 ± 0.37 , $p < 0.001$). Based on the tertiles of hs-CRP levels, study population was divided into three groups; 1st group: hs-CRP < 0.830 mg/L, 2nd group: hs-CRP < 0.831-2.60 and 3rd group hs-CRP > 2.61 mg/L. Metabolic syndrome individuals were more prevalent in the highest hs-CRP group than others [1st group; n=144 (23.9%), 2nd group; n=222 (36.8%); 3rd group; n=237 (39.3%), $p < 0.001$].

Conclusion: Present study suggests that hs-CRP is associated with metabolic syndrome.

	Habitatik syndrome group (n=603)	Control group (n=1399)	P value
Mean age, years	55.1±11.9	47.8±16.1	<0.001
Females/Males, n (%)	429 (71.2)/74 (28.8)	866 (62.0)/533 (38.0)	<0.001
Diabetes Mellitus, n (%)	159 (26.5)	81 (6.0)	<0.001
Hypertension, n (%)	420 (71.0)	417 (29.8)	<0.001
Current smokers, n (%)	68 (11.3)	279 (19.7)	<0.001
Waist circumference (cm)	106.9 ± 8.6	89.9 ± 12.6	<0.001
BMI (kg/m ²)	33.6±5.0	27.4±5.4	<0.001
Urea (mg/dL)	33.4±10.5	32.3±11.1	0.039
Serum creatinine (mg/dL)	0.83±0.25	0.79±0.22	<0.001
Total cholesterol (mg/dL)	192.5±40.6	175.7±37.2	<0.001
Triglyceride (mg/dL)	241.3±128.8	143.6±67.3	<0.001
HDL-cholesterol (mg/dL)	40.1±10.1	47.2±11.9	<0.001
LDL-cholesterol (mg/dL)	109.2±36	101.1±31.8	<0.001
TSH (mIU/L)	2.09±5.0	1.91±4.6	0.445

P-072**Sağlıklı çalışanlarda akut uyku yoksunluğunun aortik elastik özelliklerine olan etkisi**İlyas Akdemir¹, Gökhan Altunbaş², Süleyman Ercan¹, Selve Arslan³, Vedat Davutoğlu³¹Fatih Üniversitesi Tıp Fakültesi, Kardiyoloji Anabilim Dalı, İstanbul²Kilis Devlet Hastanesi, Kardiyoloji Kliniği, Kilis³Gaziantep Üniversitesi Tıp Fakültesi, Kardiyoloji Anabilim Dalı, Gaziantep**P-072****Impact of acute sleep deprivation on aortic elastic properties in healthy workers**İlyas Akdemir¹, Gökhan Altunbaş², Süleyman Ercan³, Selve Arslan³, Vedat Davutoğlu³¹Department of Cardiology, Fatih University, İstanbul²Department of Cardiology, Kilis State Hospital, Kilis³Department of Cardiology, Gaziantep University, Gaziantep

Background: In modern days, people are more frequently exposed to acute sleep loss due to extensive working. Epidemiologic studies suggest that sleep deprivation (SD) increases risk of cardiovascular events. Association between SD and aortic stiffness remained to be unknown. We sought to determine the impact of acute SD on aortic elastic properties in healthy workers.

Materials-Methods: Study population was consisted of 34 medical personnel working on shifts (17 men and 17 women). Less than half of the mean daily sleep time or less than 4 hours a day was defined SD. Blood pressure and echocardiographic measurements for aortic stiffness including B-index, strain and distensibility were obtained before and after SD.

Results: Systolic blood pressure of participants increased significantly after SD compared to control values which were recorded after normal sleep. There was also statistically significant difference in diastolic blood pressures (118.29 ± 13.17 vs 119.52 ± 11.94 , $p=0.001$; 70.70 ± 12.04 vs 71.08 ± 9.51 , $p=0.029$; respectively). There was a statistically significant decrease in distensibility after SD compared to basal values ($p=0.042$). The association between acute SD and B-index and strain was not reached to statistical significance ($p=0.064$, $p=0.07$; respectively).

Conclusion: In conclusion, acute SD triggers an increase in blood pressure and associated with aortic stiffness which is an independent predictor of cardiovascular events. Besides, our study suggests that professions which expose subjects frequently to sleep deprivation should be accepted as a high risk group for cardiovascular events.

P-073**Aort kapak replasmanı uygulanan ileri derecede kötü sol ventrikül fonksiyonları olan aort yetmezlikli hastalarda bulgulanan etyolojik faktörler**Ali Gürbüz¹, Orhan Gökalp¹, Levent Yıldız¹, İsmail Yürekli¹, Şahin Bozok², Ufuk Yetkin¹, Mert Kestelli¹¹İzmir Ataturk Eğitim ve Araştırma Hastanesi, Göğüs Kalp ve Damar Cerrahisi Anabilim Dalı, İzmir²Rize Üniversitesi Tıp Fakültesi, Kalp Damar Cerrahisi Bölümü, Rize

Amaç: Belirgin sol ventrikül disfonksiyonu ve sol ventrikülde dilatasyonu olan hastalarda uygulanan aort kapak replasmanı gerektiren etyolojik faktörler oldukça değişkenlik arz eder.

Gereç-Yöntem: Bu çalışmada Nisan 2001 ile Mayıs 2003 tarihleri arasında ileri derecede kötü sol ventrikülü ve aort kapak yetmezliği nedeniyle aort kapak replasmanı yapılmış 29 hasta değerlendirildi. Hastaların tamamı erkek ve yaş ortalamaları 35.36 ± 9.68 (20-53) idi. Bu hastaların çalışmaya alınma kriterleri preoperatif ciddi aort yetmezliği olması, SVSSC'nin 50 mm, SVDS'C'nin 70 mm'den fazla olması ve ejeksiyon fraksiyonu'nun (EF) % 40'dan küçük olmasıdır. Hastaların ortalama SVSSC'ı 65.8 mm, SVDS'C'ı ise 80.7 mm, EF'si %34 idi.

Bulgular: Hastaların 21'inde Romatizmal kalp hastalığı, 3'ünde endokardit, 2'sinde dejeneratif kapak hastalığı, 2'sinde dilate kardiyompati ve 1 tanesinde ise marfan sendromu etyolojik faktör olarak görülmekteydi. Aort kapak replasmanının yanı sıra 8 hastaya mitral kapak replasmanı, 1 hastaya mitral kapak tamiri, 1 hastaya ise asendan aort anevrizması nedeniyle benthall prosedürü uygulandı.

Sonuç: İleri derecede kötü sol ventrikül fonksiyonları olan AY'lı hastalarda yapılan aort kapak replasmanı, sol ventrikül çaplarını anlamlı derecede küçültmekte, hastaların fonksiyonel kapasitelerini düzeltmekte ve uzun sağlam oranlarını değiştiren etyolojik faktörlere rağmen sağlamaktadır.

P-073**Etiological factors identified in aortic valve replacements performed on patients with aortic insufficiency in whom left ventricular functions were severely impaired**Ali Gürbüz¹, Orhan Gökalp¹, Levent Yıldız¹, İsmail Yürekli¹, Şahin Bozok², Ufuk Yetkin¹, Mert Kestelli¹¹Department of Thoracic, and Cardiovascular Surgery, Izmir Ataturk Training and Research Hospital, Izmir²Department of Cardiovascular Surgery, Rize University Faculty of Medicine, Rize

Genel**P-076****Clinical utility of red cell distribution width in patients with hemodynamically stable acute pulmonary embolism**

Lütfü Bekar¹, Ahmet Cemal Pazarlı², Abulkadir Geylani Sahan³, Orhan Onalan⁴

¹Tokat Devlet Hastanesi, Kardiyoloji Kliniği, Tokat

²Elbistan Devlet Hastanesi, Göğüs Hastalıkları Kliniği, Kahramanmaraş

³Seyranetepe Hastanesi, İç Hastalıkları Kliniği, Diyarbakır

⁴Gaziosmanpaşa Üniversitesi Tıp Fakültesi, Kardiyoloji Anabilim Dalı, Tokat

General**P-076****Clinical utility of red cell distribution width in patients with hemodynamically stable acute pulmonary embolism**

Lütfü Bekar¹, Ahmet Cemal Pazarlı², Abulkadir Geylani Sahan³, Orhan Onalan⁴

¹Tokat State Hospital, Cardiology Clinic, Tokat

²Elbistan State Hospital, Pulmonary Medicine Clinic, Elbistan, Kahramanmaraş

³Seyranetepe Hospital, Internal Medicine Clinic, Diyarbakır

⁴Gaziosmanpaşa University, Faculty of Medicine, Department of Cardiology, Tokat

Background: Patients with acute pulmonary embolism (PE) who present with shock or persistent hypotension are accepted as having a high risk. Patients with hemodynamically stable acute PE are classified as low or moderate risk groups according to right ventricular dysfunction and/or the level of myocardial damage markers. In this study, we investigated the clinical utility of red cell distribution width (RDW) in patients presented with hemodynamically stable acute PE.

Methods: All the patients diagnosed with acute PE in our hospital between 2008 and 2010 were retrospectively studied. Patients having hypotension, malignancy, history of heart failure and anemia at the time of admission were excluded from the study. Normotensive acute PE patients were divided into two separate groups as having low and moderate risk, based on echocardiographic right ventricular dysfunction, Troponin T positivity and NT-proBNP elevation. First, RDW values of acute PE patients were compared with those of the control group with similar demographic characteristics. Then RDW values were compared between the low and moderate risk acute PE groups.

Results: Acute PE (n=64) and the control group (n=70) were similar in age (57±13 vs. 54±7, p= 0.109), gender (33% vs. 37% male, p= 0.881), prevalence of diabetes mellitus (p=0.989) and hypertension (p=0.670) and smoking rate (p=0.642) (Table 1). No significant difference was found between acute PE patients and the controls in terms of blood pressure, hemoglobin (Hg), platelet count (PLT) and mean platelet volume (MPV); while heart rate (91±19 vs. 67±9, p=0.001) and RDW values (14.47±1.65 vs. 13.18±0.86, p<0.001) were significantly higher in the patient group than in the controls. Based on the levels of Troponin T and NT-proBNP and echocardiographic findings, 30 patients were considered as having moderate and 34 low risk for PE. RDW values were significantly higher in the moderate risk group than in the low-risk group (14.77±0.54 vs. 14.09±0.43, p=0.036).

Conclusion: RDW raises in patients with hemodynamically stable acute PE. Examination of RDW values in these patients may be helpful in differentiation of the low and moderate risks.

P-077**Kardiyak sendrom X'li hastalarda ürik asit yavaş koroner akımı belirler**

Zafer Elbasan, Durmuş Yıldırıay Şahin, Mustafa Gür, Rabia Eker Akıllı, Selahattin Akyol, Ali Kıvrak, Osman Kuloğlu, Murat Çaylı

Adana Numune Eğitim ve Araştırma Hastanesi, Seyhan Uygulama Merkezi Kardiyoloji Bölümü, Adana

P-077**Uric acid predicts slow coronary flow in patients with cardiac syndrome X**

Zafer Elbasan, Durmuş Yıldırıay Şahin, Mustafa Gür, Rabia Eker Akıllı, Selahattin Akyol, Ali Kıvrak, Osman Kuloğlu, Murat Çaylı

Adana Numune Education and Research Hospital, Seyhan Application Center, Department of Cardiology, Adana

Objectives: It has been recently shown that CSX patients with slow coronary flow (SCF) have worse long prognosis than those with normal coronary flow. The purpose of the study was to investigate the factors that may effect on coronary flow by means of TIMI frame count (TFC) in patients with cardiac syndrome X (CSX).

Methods: The study population consisted of 113 consecutive patients with typical cardiac CSX. Frequencies of risk factors, biochemical and hematological data were recorded in all participants. Coronary blood flow was evaluated by TFC. All Patients with a TFC greater than two standard deviations from the published normal range for any one of the three vessels were accepted as having SCF (SCF group), while those who have TFC fell within the standard deviation of the published normal range for all of the three vessels were considered to have normal coronary flow (control group).

Results: Of the 113 patients enrolled, 40 (35.4%) patients had SCF. The mean TFC value was strongly positive correlated with plasma uric acid level, while weakly correlated with male sex, diabetes, smoking, plasma creatinine level and hemoglobin in patients with CSX. Multivariate regression analysis showed that plasma uric acid level was the only independent predictor for SCF. The cutoff value of uric acid obtained by the ROC curve analysis was 4.55 mg/dL for the prediction of SCF (sensitivity: 77.5%, specificity: 73.6%).

Conclusion: Plasma uric acid level is the only independent predictor of the presence of SCF in patients with CSX.

Table. Baseline clinical and laboratory characteristics of groups

	Slow coronary flow (n=40)	Controls (n=73)	p
Sex (male/female)	22/18	19/54	0.004
Diabetes mellitus, n (%)	18 (45.0)	17 (23.3)	0.02
Smoking, n (%)	20 (50.0)	18 (24.7)	0.01
Uric acid, mg/dL	5.4±1.0	4.1±1.0	<0.001
Creatinine, mg/dL	0.79±0.13	0.72±0.16	0.01

Genel

P-078

Akselerasyon kuvvetlerinin sağ ventrikül diastolik fonksiyonları ve pulmoner arter basıncı üzerine etkileri

Cengiz Öztürk¹, Savas İlbasmis²

¹Eskisehir Askeri Hastane, Kardiyoloji Kliniği, Eskisehir

²Eskişehir Hava, Eğitim ve Araştırma Hastanesi, Eskişehir

General

P-078

The effects of acceleration forces on pulmonary artery systolic pressure and right ventricular diastolic functions

Cengiz Öztürk¹, Savas İlbasmis²

¹Eskisehir Military Hospital, Cardiology Department, Eskisehir

²Aircrew's Health, Research and Training Center, Eskisehir

Introduction: In aviation, high performance aircraft pilots are exposed to +Gz acceleration at longer durations and higher magnitude than transport/helicopter pilots. The purpose of this study was to reveal the effects of high +Gz exposure on pulmonary artery systolic pressure (PASP) and right ventricular diastolic functions.

Methods: We have evaluated right ventricular diastolic functions and pulmonary artery systolic pressure with echocardiographic examination of selected 63 pilots who applied for aircrew periodic medical examination. Of 63 pilots, 33 were grouped as high performance aircraft pilots group (Group A) and 30 were grouped as control group (Group B) for their aircraft type was transport or helicopter; mean age 35.79±2.79 and 36.33±2.68 and total flight hours, 212.70±683.93 and 2850±948.71, respectively.

Results: Among all echocardiographic parameters, only mean TV A and TV E/A parameters were significantly different between the two groups. In Group A and group B, mean TV E was 68.45±12.73 and 64.57±7.30, p=0.140; mean TV A, 52.12±13.85 and 42.61±6.42, p=0.001; mean TV E/A, 1.36±0.30 and 1.53±0.20, p=0.015; mean PAV, 112.45±18.40 and 109.54±19.07, p=0.540; mean TRV, 225.06±49.71 and 208.12±50.68, p= 0.256, respectively. Mean pulmonary artery pressure of Group A pilots (32.04±9.09) was higher than Group B pilots (28.76±7.9) but it wasn't statistically significant.

PAV: Pulmonary Artery Velocity (cm/sec), TRV: Tricuspid Regurgitation Velocity (cm/sec), TV E: Tricuspid Valve E velocity (cm/sec), TV A: Tricuspid Valve A velocity (cm/sec), TV E/A: Tricuspid Valve E/A ratio, PASP: Pulmonary Artery Systolic Pressure (mmHg).

Discussion: According to the echocardiography results, chronic +Gz exposure has some effects on right ventricular diastolic functions. We have considered that these effects may be a result of chronic +Gz adaptation, diastolic dysfunction or high PASP. Further studies including wide series should be performed in order to reveal the long term +Gz effects on cardiac diastolic functions and PASP. We conclude that according to the results of this study, long term +Gz exposure have some effects on right ventricular diastolic functions despite not pathologic.

P-079

Hipertrofik kardiyomiyopatide ortalama trombosit hacmi artmıştır

Atilla İcli¹, Fatih Aksoy², Abdullah Doğan², Akif Arslan², İbrahim Ersoy², Salaheddin Akçay³, Özkan Görgülü⁴

¹Ahi Evran Üniversitesi Eğitim ve Araştırma Hastanesi, Kardiyoloji Kliniği, Kirşehir

²Süleyman Demirel Üniversitesi Tıp Fakültesi, Kardiyoloji Anabilim Dalı,

³Harput Devlet Hastanesi, Kardiyoloji Servisi, Elazığ

⁴Ahi Evran Üniversitesi Eğitim ve Araştırma Hastanesi, Biyoistatistik ve Medikal İstatistik, Kirşehir

P-079

Increased mean platelet volume in hypertrophic cardiomyopathy

Atilla İcli¹, Fatih Aksoy², Abdullah Doğan², Akif Arslan², İbrahim Ersoy², Salaheddin Akçay³, Özkan Görgülü⁴

¹Department of Cardiology, Ahi Evran University Training and Research Hospital, Kirşehir

²Department of Cardiology, Süleyman Demirel University Faculty of Medicine, Isparta

³Department of Cardiology, Harput State Hospital, Elazığ

⁴Department of Biostatistics, Medical Informatics, Ahi Evran University Training and Research Hospital, Kirşehir

Objectives: Thromboembolic events can be seen in patients with hypertrophic cardiomyopathy (HCM). In these patients, platelets may be activated and contribute to the thromboembolic events. We aimed to evaluate mean platelet volume (MPV), an indicator of platelet activation in HCM patients.

Methods: This study included 112 HCM patients with sinus rhythm, with 40 obstructive HCM (HOCM), the left ventricular outflow tract (LVOT) peak gradient ≥ 30 mmHg) and 106 controls who were matched for age, gender body mass index (BMI) and concomitant diseases. All study population underwent physical and echocardiographic examination. Platelet count and MPV were measured from whole blood.

Results: MPV was significantly higher in patients with HCM than controls (9.1 ± 0.3 vs 7.9 ± 0.3 fL, p=0.01). Contrary, platelet count was lower in patients with HCM compared to controls (p<0.01). MPV was also higher in patients with HOCM compared to those with nonobstructive HCM (HNCM) (9.3 ± 0.3 vs 9.0 ± 0.2 fL, p=0.01) and controls (9.3 ± 0.3 vs 7.9 ± 0.3 fL, p=0.001). Similarly, patients with HNCM had higher MPV values than controls (9.0 ± 0.2 vs 7.9 ± 0.3 fL, p=0.01). MPV was significantly and positively correlated with LVOT obstruction ($r=0.42$, p=0.001) and septal thickness ($r=0.62$, p=0.001). In linear regression analysis, MPV was independently associated with only septal thickness ($B= 0.07$, 95% confidence interval: 0.04–0.09, p=0.001).

Conclusion: Our findings show that MPV can be elevated in HCM patients regardless of obstruction of LVOT, and may be associated with severity of septal thickness.

P-080

Dumansız tütün "Maras Otu" kullanımının nitrik oksit ve kardiyovasküler risk parametreleri üzerine etkisiAytekin Güven¹, Fatma Tolun²¹Başkent Üniversitesi Tıp Fakültesi, Kardiyoloji Anabilim Dalı, Ankara²Kahramanmaraş Sütçü İmam Üniversitesi Tıp Fakültesi, Biyokimya Anabilim Dalı, Kahramanmaraş

P-080

Effects of smokeless tobacco "Maras Powder" use on nitric oxide and cardiovascular risk parametersAytekin Güven¹, Fatma Tolun²¹Baskent University School of Medicine, Department of Cardiology, Ankara²Kahramanmaraş Sütçü İmam University School of Medicine, Department of Biochemistry, Kahramanmaraş

Background: Smokeless tobacco use is common in various parts of the world. In Turkey a type of smokeless tobacco called "Maras powder" is widely used in southeastern region. Smoking is known to have an adverse effect on nitric oxide and cardiovascular risk factors. The aim of this study was to evaluate whether there is difference between the effects of Maras powder and cigarette smoking on the cardiovascular risk factors and nitric oxide levels.

Methods: In the study, participants were 48 Maras powder users, 50 cigarette smokers and 45 non-tobacco user subjects. Blood samples were collected and hematological parameters and lipid parameters were measured. Plasma Nitric oxide level was also detected by using the Griess method.

Results: Plasma total cholesterol, LDL-cholesterol, triglyceride levels were significantly higher in Maras powder and cigarette smokers group than in the nontobacco user group ($p<0.05$). Plasma HDL-cholesterol levels were significantly lower in Maras powder and cigarette smokers group than in the nontobacco user group ($p<0.05$). Plasma Nitric oxide levels were found significantly lower in Maras powder and cigarette smokers group compared to the nontobacco user group ($4.9\pm0.9 \mu\text{mol/l}$, $4.8\pm1 \mu\text{mol/l}$, $9.4\pm3.4 \mu\text{mol/l}$, respectively, $p<0.05$) whereas there was no significant difference between the Maras powder and cigarette smokers group. In multivariate logistic regression model, cigarette smoking (Odds ratio=17.832, $p<0.001$), Maras powder usage (Odds ratio=12.311, $p=0.002$) and mean platelet volume (Odds ratio=1.425, $p=0.030$) remained independently associated with lower Nitric oxide levels.

Conclusion: We conclude that Maras powder has similar adverse effects on nitric oxide level and cardiovascular risk parameters and thereby it appears to be harmful as cigarette smoking.

P-081

KKKAH ile C tipi natriüretik peptidin ilişkisiKenan Ahmet Turkdogan¹, Ali Zorlu², Aynur Engin³, Fatma Mutlu Kukul Güven⁴, Muhammed Mirhan Polat⁴, Okan Onur Turgut⁵, Mehmet Birhan Yilmaz⁵¹Isparta Devlet Hastanesi, Acil Bölümü, Isparta²Özel Malatya Hastanesi, Kardiyoloji Kliniği, Malatya³Cumhuriyet Üniversitesi Tıp Fakültesi, Enfeksiyon ve Klinik Mikrobiyoloji Anabilim Dalı, Sivas⁴Cumhuriyet Üniversitesi Tıp Fakültesi, Acil Bölümü, Sivas⁵Cumhuriyet Üniversitesi Tıp Fakültesi, Kardiyoloji Anabilim Dalı, Sivas

P-081

C-type natriuretic peptide is associated with the severity of Crimean-Congo hemorrhagic feverKenan Ahmet Turkdogan¹, Ali Zorlu², Aynur Engin³, Fatma Mutlu Kukul Güven⁴, Muhammed Mirhan Polat⁴, Okan Onur Turgut⁵, Mehmet Birhan Yilmaz⁵¹Department of Emergency, Isparta State Hospital, Isparta²Department of Cardiology, Private Malatya Hospital, Malatya³Department of Infectious and Clinical Microbiology, Cumhuriyet University Medical School, Sivas⁴Department of Emergency, Cumhuriyet University Medical School, Sivas⁵Department of Cardiology, Cumhuriyet University Medical School, Sivas

Background: Crimean-Congo hemorrhagic fever (CCHF) is characterized by vascular dysfunction, indicating the involvement of endothelial cells. C-type natriuretic peptide (CNP) plays a critical role in the coordination of vascular tone and is associated with the prognosis in critically ill patients such as those with sepsis and septic shock. We investigated whether CNP is related to the severity of CCHF.

Methods: Forty-eight consecutive patients with a laboratory confirmed diagnosis of CCHF and 40 age-sex-matched healthy volunteers as the control group were prospectively enrolled into the study. CCHF patients were classified according to the disease severity into a non-severe group ($n=28$) and a severe group ($n=20$).

Results: The CNP levels were detected to be 0.43 (0.4 - 0.7) ng/ml in the control group, 0.87 (0.7 - 1.0) ng/ml in the non-severe CCFH group, and 1.27 (0.8 - 1.7) ng/ml in the severe CCHF group. According to the receiver operating characteristics curve analysis, the optimal cut-off value of CNP to predict disease severity was >1.22 ng/ml, with 89.3% specificity and 55% sensitivity. CNP >1.22 ng/ml, lactate dehydrogenase >480 IU/l, and aspartate aminotransferase >202 IU/l were found to have prognostic significance in the univariate analysis. In the multivariate logistic regression analysis by forward stepwise method, CNP >1.22 ng/ml (odds ratio 8.336, $p = 0.016$) and lactate dehydrogenase >480 IU/l (odds ratio 16.206, $p=0.002$) remained associated with disease severity after adjustment for confounding variables.

Conclusions: CNP measurement could help in the risk stratification of patients with CCHF

Genel

P-082

Ortalama platelet hacmi tüm Behcet hastalığında değil, sadece aktif hastalarda artmaktadır

Zuhai Arıтурk Atılgan¹, Ahmet Mesut Onat², Neçmettin Kirtak³, Murat Sucu⁴, Süleyman Ercan⁴, Vedat Davutoglu⁴, İbrahim Sarı⁴, Muhammed Oylumlu⁴, Hasan Buyukaslan⁵

¹Cardiology Department, Dicle University, School of Medicine, Diyarbakır

²Rheumatology Department, Gaziantep University, School of Medicine, Gaziantep

³Dermatology Department, Gaziantep University, School of Medicine, Gaziantep

⁴Cardiology Department, Gaziantep University, School of Medicine, Gaziantep

⁵Emergency Department, Gaziantep University, School of Medicine, Gaziantep

General

P-082

Mean platelet volume is increased in active but not all subjects with Behcet's disease

Zuhai Arıтурk Atılgan¹, Ahmet Mesut Onat², Neçmettin Kirtak³, Murat Sucu⁴, Süleyman Ercan⁴, Vedat Davutoglu⁴, İbrahim Sarı⁴, Muhammed Oylumlu⁴, Hasan Buyukaslan⁵

¹Cardiology Department, Dicle University, School of Medicine, Diyarbakır

²Rheumatology Department, Gaziantep University, School of Medicine, Gaziantep

³Dermatology Department, Gaziantep University, School of Medicine, Gaziantep

⁴Cardiology Department, Gaziantep University, School of Medicine, Gaziantep

⁵Emergency Department, Gaziantep University, School of Medicine, Gaziantep

The exact pathogenic mechanism underlying the thrombotic tendency in Behcet's disease is unclear. We investigated relationship between platelet indices including mean platelet volume (MPV), platelet distribution width (PDW) and platelet count in active Behcet's disease and inactive Behcet's disease compared to control group. Additionally we sought to determine relationship between deep venous thrombosis and MPV in patients with Behcet's disease. A group of 171 patients with Behcet's disease (65 women and 106 men with the mean age of 34.4 ± 10.1 years, 39% of patients were in active state) who were followed-up in a rheumatology clinic and a group of 96 healthy controls (28 women and 68 men with the mean age of 36.4 ± 8.3 years) were compared. The MPV, PDW, platelet count and white blood cell count were measured. Active Behcet's disease and control group were compared, statistically significant differences were detected between these groups in terms of MPV level and platelet count ($p=0.02$, $p<0.001$, respectively). There were no significant difference between inactive Behcet's disease group and control group in terms of all platelet indices. In the group of patients with Behcet's disease, peripheral thrombus symptoms were detected in 20 (11.6 %) patients. MPV values of thrombus present group had higher MPV than that of control group ($p<0.05$). We demonstrate that MPV is significantly higher in patients with active Behcet's disease than control group. History of deep venous thrombosis were also associated with increased MPV. MPV can reflect disease activity in Behcet's disease. Further studies need to be clarified our study findings.

Table 1. Comparison of demographic and platelet indices between active Behcet's disease and control cases

	Active Behcet's cases (n=65)	Control Cases (n=96)	P values
Age (years, mean)	37.9±12.1	36.4±8.34	0.34
Gender (women/man, numbers)	26/40	28/68	0.20
MPV (fL, mean)	10,32±0.96	9,9±1.0	0.02
Platelet count ($\times 10^3/\text{mm}^3$, mean)	343,48±92.8	268,68±65.2	0.001
PDW (fL, mean)	12,78±2,61	13,6±3.13	0.10

MPV: mean platelet volume; PDW: platelet distribution width.

Table 2. Comparison of demographic and platelet indices between inactive Behcet's disease and control cases

	Inactive Behcet's cases (n=105)	Control Cases (n=96)	P values
Age (years, mean)	35,8±10,1	36,4±8,34	0,40
Gender (women/man, numbers)	33/72	28/68	0,80
MPV (fL, mean)	10,12±1,09	9,9±1,0	0,20
Platelet count ($\times 10^3/\text{mm}^3$, mean)	273,74±65,65	268,68±65,3	0,60
PDW (fL, mean)	13,11±2,66	13,6±3,13	0,20

MPV: mean platelet volume; PDW: platelet distribution width.

P-083

Perikard tamponadı ile başvuran hastalarda etiyolojinin aydınlatılmasında perikardiyosentez ve perikard biyopsisinin rolü

Ali Deniz, İlarya Güldür Berk, Vildan Yüksekdağı, Oğuz Akkuş, Halil Aktaş, Mehmet Kanadaşı, Mesut Demir, Mustafa Demirtaş

Çukurova Üniversitesi Tip Fakültesi, Kardiyoloji Anabilim Dalı, Adana

Giriş: Perikardiyosentez ile alınan sıvının incelenmesi tamponada neden olan hastalığın aydınlatılması açısından önemlidir. Bu çalışmamızda perikard tamponadı ile başvuran hastalarda sebe卜 olan hastalıkların dağılımı ve perikard sıvi incelenmesi ve perikard biyopsisinin tanısal değerinin saptanması amaçlanmıştır.

Yöntem: 2009-2011 yılları arasında tamponad tanı almış ve perikardiyosentez yapılmış olan hastaların dosyaları retrospektif olarak incelenmiştir. Hastaların dosya kayıtlarından hastaların demografik verileri, klinik özellikleri, fizik muayene, laboratuvar ve görüntüleme inclemelerinin sonuçları değerlendirilmiştir.

Bulgular: Tamponad tanımlı perikardiyosentez yapılan 25 hasta (13 erkek, 12 kadın) çalışmaya alındı. Çalışmaya alınmış olan tüm hastaların perikard sıvılarının hemorajik veya serohemorajik varlığı olduğu, Light kriterlerine göre tammanın eksüda niteliginde olduğu saptandı. Yapılan inclemelerde 5 hastanın tüberküloz perikardit, 10 hastanın karsinom, 3 hastanın lenfoma, 7 hastanın ise perikardit tanı alığı görüldü. Tüberküloz perikarditi tanı alan hastaların (median yaşı: 54) tümünde sıri kültüründen üremeye olmadı, adenozin deaminaz (ADA) düzeyi >40 IU/L'nin üzerinde olması, sıvi sitolojisinde lenfosit hakimiyeti ve lenfomann ekarte edilmesi ile tanı koyuldu. Kar-sinom tanısı alan 10 hastanın (median yaşı: 55) 8'i akciğer karsinomu, 1'i meme karsinomu, 1'i ise prostat karsinomu tanı aldı. Sıvi sitolojisinde sadece 2 hasta malign hücre saptandı. Lenfoma saptanın 3 hastanın (median yaşı: 30) 1'inde ADA 67 IU/L olarak ölçüldü. Sitolojik inclemede yoğun lenfositler, eritrositler ve mezotel hücreleri görüldü. Üç hastada da lenfadenopati saptanarak lenf nodlarının biyopsisi ile tanı koyuldu. Yedi hasta (median yaşı: 48) tamponad nedeni olarak perikardit düşünüldü. Hiçbir hasta sistemik bir hastalık saptanmadı. Sitolojik inclemede mezotel hücreleri, nötrofil, lenfosit ve eritrositler görüldü. 25 hastanın 7'sine izlenme floroskopı esliğinde perikard biyopsisi yapıldı. Tüm hastalarda patolojik tanı fibrinöz perikardit olarak rapor edildi. Bu hastaların değerlendirilmesi sonucunda 1'inde akciğer Ca, 2'ser hastada ise tüberküloz, lenfoma ve perikardit tanı koyuldu.

Sonuç: Tamponada neden hastalıklar sırasıyla malignesiler, perikardit ve tüberküloz olarak saptanmıştır. Perikard sıvısının incelenmesi ile tanıya yönelik olasılığının düzük olduğu görülmüştür. Bu nedenle eğer tamponad kliniği yoksa klinik durum, diğer laboratuvar ve görüntüleme yöntemlerinin yardımına alta yatan hastalığın araştırılmasının ve ancak tanı koymazsa perikardiyosentez yapılmasını daha uygun olacağı düşünülmüştür. ADA düzeyinin tüberküloz perikardit açısından oldukça yardımcı olduğu görülmüştür, ancak lenfoma ve diğer ADA yükseltken nedenlenen ekarte edilmesi gerekmektedir. Sitolojik inclemenin malignensi açısından tanısal değeri zayıf bulunmuştur. Floroskopı esliğinde yapılan perikard biyopsisinin özgü olmadığı görülmüştür.

P-083

The role of pericardiocentesis and pericardial biopsy in the diagnosis of etiology of pericardial tamponade

Ali Deniz, İlarya Güldür Berk, Vildan Yüksekdağı, Oğuz Akkuş, Halil Aktaş, Mehmet Kanadaşı, Mesut Demir, Mustafa Demirtaş

Department of Cardiology, Çukurova University Faculty of Medicine, Adana

Genel

P-084

Derin ven trombozunda ortalama trombosit hacmi pulmoner emboli prediktörü olabilir

Atilla İçli¹, Yasin Türker², Bayram Ali Uysal³, Fatih Aksoy³, Akif Arslan³, Özkan Görgülü⁴, Mehmet Akkaya⁵

¹Ahi Evran Üniversitesi Eğitim ve Araştırma Hastanesi, Kardiyoloji Kliniği, Kırşehir

²Düzce Üniversitesi Düzce Tıp Fakültesi, Kardiyoloji Anabilim Dalı, Düzce

³Süleyman Demirel Üniversitesi Tıp Fakültesi, Kardiyoloji Anabilim Dalı, Isparta

⁴Ahi Evran Üniversitesi Eğitim ve Araştırma Hastanesi, Biyoistatistik ve Medikal İnformatik, Kırşehir

⁵Bezm-i Alem Vakıf Gureba Eğitim ve Araştırma Hastanesi, Kardiyoloji Kliniği, İstanbul

Giriş: Derin ven trombozu (DVT), venöz tromboembolizm adı verilen klinik tanının bir parçası olup ve özellikle yatan hastalarda önemli bir mortalite ve morbidite nedendir. Çoklu durumda pulmoner emboli (PE) DVT'nin bir sonucudur ve aynı predispozan faktörler paylaşmaktadır. Ortalama trombosit hacmi (OTH) trombosit boyutunu yansımaktadır ve trombosit aktivasyonu ile ilişkilerden biri olarak kabul edilmektedir. Büyüklük trombositerler yüksek trombotik potansiyele sahip olduğu bilinmektedir. Artmış OTH değerleri miyokard infarktüstü ve inme için bağımsız bir risk faktörü olarak tanımlanmıştır ayrıca kardiyovasküler hastalıklarda kötü klinik sonuçlar ile ilişkili olduğu bildirilmiştir. Bu çalışmada DVT hastalarında yüksek OTH'ın pulmoner tromboembolizm gelişme riskedinde ilişkili olup olmadığı hipotezini test etmeye amaçladık.

Metod: Çalışmaya hastalar 3 gruba bölünderek dahil edildi. Grup 1 (n=98) PE gelişen DVT hastaları; grup 2 (n=97) PE gelişmemiş DVT hastaları; grup 3 (n=98) kontrol grubu olarak alındı. Gruplar cinsiyet, yaşı, vucut kitle indeksi, eşlik eden hastalıklar ve varfarin kullanımından eşleştirildi. Çalışmaya dahil edilen bireylere fizik muayene ve kompresyon ultrasonografisi yapıldı. PE tamı spiral bilgisayarlı tomografi ile teyit edildi. PE tanımlayıcı olarak kullanılan OTH'ın kesim noktası alıcı işletim eğrisi analizi kullanılarak yapıldı. OTH'ın PE tanımlayıcı değeri için %86 duyarlılık ve %82 özgüllük ile kesim noktası 9.15 fl olarak tespit edildi. (egri altında kalan alan = 0.93, P <0.001). DVT hastaları OTH'ın kesim noktası değerine göre yüksek OTH grubu ($OTH > 9.15 \text{ fl}$ (n=113) ve düşük OTH grublarına $OTH < 9.15 \text{ fl}$ (n=82) olmak üzere ikiye ayrıldı.

Bulgular: PE gelişen DVT hastalarında ve PE gelişmemiş DVT hastalarında OTH değerleri kontrol grubuna göre anlamlı oranda yüksek tespit edildi ($9.9 \pm 0.6 \text{ fl}$ ve $8.7 \pm 0.7 \text{ fl}$ 'e $7.9 \pm 0.7 \text{ fl}$, p<0.001). Ayrıca OTH değerleri PE gelişen DVT hastalarında PE gelişmemiş DVT hastalarına göre anlamlı derecede yüksekti ($9.9 \pm 0.6 \text{ fl}$ 'e $8.7 \pm 0.7 \text{ fl}$, p<0.001). $OTH > 9.15 \text{ fl}$ olan DVT grubunda PE sıklığı $OTH < 9.15 \text{ fl}$ olan DVT grubuna göre daha yüksek saptandı (%75.2'e %15.9, p<0.001). Lojistik regresyon analizinde DVT hastalarında PE varlığı OTH (OR 4.24; %95 güven aralığı (GA) 9.39–53.19, p<0.001) ve varfarin kullanımı (OR 1.36; %95 GA 0.10–0.60, p=0.002) ile bağımsız olarak ilişkili tespit edildi.

Sonuç: Artmış OTH PE gelişen DVT hastaları ve PE gelişmemiş DVT hastaları ile bağımsız olarak ilişkilidir. OTH'ın 9.15 fl'ın üzerinde olması DVT hastalarında PE prediktörü olabilir.

General

P-084

Mean platelet volume may be as a predictor of pulmonary embolism in deep vein thrombosis

Atilla İçli¹, Yasin Türker², Bayram Ali Uysal³, Fatih Aksoy³, Akif Arslan³, Özkan Görgülü⁴, Mehmet Akkaya⁵

¹Department of Cardiology, Ahi Evran University Faculty of Medicine, Kırşehir

²Department of Cardiology, Düzce University Düzce Faculty of Medicine, Düzce

³Department of Cardiology, Süleyman Demirel University Faculty of Medicine, Isparta

⁴Department of Biostatistics and Medical Informatics, Ahi Evran University Training and Research Hospital, Kırşehir

⁵Department of Cardiology, Bezm-i Alem Vakıf Gureba Training and Research Hospital, İstanbul

Objectives: Deep vein thrombosis (DVT), a part of clinical diagnosis called venous thromboembolism, is an important cause of morbidity and mortality especially in hospitalized patients. In most cases pulmonary embolism (PE) is a consequence of DVT and shares the same predisposing factors. Mean platelet volume (MPV) reflects platelet size and is accepted as one of the marker of platelet activation and that larger platelets have higher thrombotic potential. Increased values of MPV have been recognized as an independent risk factor for myocardial infarction, stroke and associated with poor clinical outcomes in cardiovascular disease. We suggested that patients with DVT with high MPV might have higher risk of pulmonary thromboembolism. So, we aimed to investigate the predictive value of MPV in patients with DVT.

Methods: Participants were divided in three groups. Group 1 (n=98) had DVT patients with PE; group 2 (n=97) had DVT patients without PE and group 3 (n=98) had control individuals. They were matched according to the following criteria: sex, age, body mass index and anticoagulation. All patients and participants underwent physical examination and compression ultrasonographic examination for DVT. Acute PE was confirmed by contrast-enhanced spiral CT. We calculated the cut-point for MPV to identify the presence of PE events using receiver-operating curve analysis. The cut-point of 9.15 fl was found to be an identifier value for patients with PE with a sensitivity of 86% and a specificity of 82% (area under curve = 0.93, P <0.001). They were divided into high MPV group (MPV>9.15 fl, n=113) and low MPV groups (MPV<=9.15 fl, n=82) according to according to the cut-off point.

Results: MPV values were significantly higher in DVT patients with and without PE than controls ($9.9 \pm 0.6 \text{ fl}$ and $8.7 \pm 0.7 \text{ fl}$ vs $7.9 \pm 0.7 \text{ fl}$, respectively, p<0.001). And also MPV values were significantly higher in DVT patients with PE than DVT patients without PE group ($9.9 \pm 0.6 \text{ fl}$ vs $8.7 \pm 0.7 \text{ fl}$, respectively, p<0.001). The rate of PE was higher in patients with DVT with MPV >9.15 fl than those with MPV<9.15 fl (75.2% vs 15.9%, p<0.001). In logistic regression analysis, the presence of PE in patients with DVT was independently associated with MPV (OR 4.24, 95% CI 9.39–53.19, p<0.001), and warfarin use (OR 1.36; 95% CI 0.10–0.60, p=0.002).

Conclusion: Elevated MPV was independently associated with DVT patients with and without PE. MPV above 9.15 fl was may be predictive of PE in DVT patients.

P-085

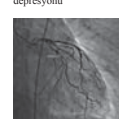
Akut miyokard infarktüsü ve çoklu arteriyopati: Segmental mediolytic arteriyopati

Serkan Ünlü, Çağrı Yayla, Hilal Olgun, Ülker Kaya, Erhan Yazıcı, Yusuf Tavil

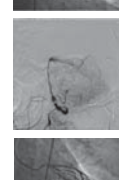
Gazi Üniversitesi Tip Fakültesi, Kardiyoloji Anabilim Dalı, Ankara

44 yaşında erkek hasta karın ağrısı nedeniyle acil servise başvurdu. Diş merkezde yapılan abdominal bilgisayarlı tomografisinde (BT) superior mezenterik arter (SMA) boyunca ve her iki renal arter distal uclarında çevresel trombus, izlenmediği öğrenildi. Fizik muayenesinde; sağ alt kadranda hassasiyet belirgin olan hasta, kontrol abdomen BT çekimi sırasında solunum arresti oldu. Entubasyon sonrası çekilen elektrokardiografsindede AVR ve ST segment elevasyonu, V4-V5-V6 da ST segment depresyonu (Şekil-1) izlenmesi ve yatak başı yapılan ekokardiyografsindede inleral arterlerde hipokinesia saptanması üzerine, primer perkutan koroner girişim amacıyla kater labaratuvarına alındı. Koroner angiografsindede; LAD ve RCA'da plaklar, sirkumflex arter görevde %90 darlık, opüs marjinialis 2 de proksimal lezyonları ile kesimizde %90-18 mm direk stent yerleştirildi. İşlem sonrası tarteri kan akımı sağlanmıştır(Şekil-3). İşleme bağlı komplikasyonlar gelişmedi. Koroner yoğun bakımdaki takibi sırasında, hastanın nörolojik muayenesinde gerileme olmasının üzerine çekilen kranium BT de subaraknoid kanama saptandı. Yapılan selektif serbral angiografsindede; sağ ve sol karotis sistemlerinde, ana karotis arter bifurkasyonu sonrası internal karotid arter dağılımı izlenemedi. Vertebrabasilar sisteme; sol vertebral arterde foramen magnum seviyesinde posterior inferior serebellär arterin 1 cm distalinde, 1 cm capında diseksiyon anevrizması izlendi (Şekil-4). Sağ vertebral arter intrakranial dağılımı izlenemedi. Kontrol abdomen BT sinde SMA da ve dallarında, sol ana ilak arter ve sol internal ilak arterde, her iki renal arterde diseksiyon saptandı (Şekil-5, Şekil-6, Şekil-7). Hasta işgili bölümelerde ortak degerlerlendirdi, radyolojik görüntümlerinin klinikin segmental mediolytic arteriyopati ile uyumu olduğunu karar verdi. Hastanın Glasgow coma skoru üçü. Takibinin üçüncü gününde kardiyak arrest olan hasta, resusitasyonu yanıtlı vermedi, eksiksiz oldu. Hasta yakınıları onam vermediginden, otopsi yapılmadı. Segmental mediolytic arteriyopati nadir rastlanan, non-inflamatuar, arterioskleroz ve vaskülit ile ilişkisi bir arter hastalığıdır. Arteriyal medya tabakasının dejenerasyonu, intramural diseksiyon, anevrizmaların rüptürü ve trombozu ile karakterizedir. Genellikle intraabdominal (özellikle SMA) arterlerde izlenen bu hastalık nadir de olsa serebral arterler tutabildi. Kesin tanısı patoloji ile konur. Sonrasında hastada segmental mediolytic arteriyopati hem abdominal, hem kranial arterler tutmuştur. Zaten çok nadir izlenen bu duruma akut miyokard infarktüsünün eklik etmesi ise başa çıkmış oldukça zor bir medikal durum oluşturmuştur. Hastanın ölümün, çoklu organ yetmezliği nedeniyle kaybedilmiş. Tüm radyolojik görüntüler ve hastanın kliniği tanımızı desteklemektedir; ancak hasta yakınları otopsi için onam vermediginden, patolojik tanı konulamamıştır.

Şekil 1. Elektrokardiografi- AVR ve ST segment elevasyonu, V4-V5-V6 da ST segment depresyonu



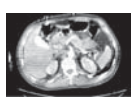
Şekil 2. Koroner angiografi-Sirkumflex arterde opüs marjinialis 2 de izlenen ciddi darlıklar



Şekil 3. Stent implantasyonu sonrası koroner angiografi görüntüsü



Şekil 4. Sol vertebral arterde foramen magnum seviyesinde posterior inferior serebellär arterin 1 cm distalinde, 1 cm capında diseksiyon anevrizması



Şekil 5. Superior mezenterik arter (SMA) boyunca ve her iki renal arter distal uclarında diseksiyon

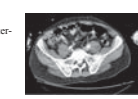


Fig 1. 12-lead ECG showing ST-segment elevation in AVR and ST-segment depressions in V4-V5-V6



Fig 2. Coronary angiography - Critical

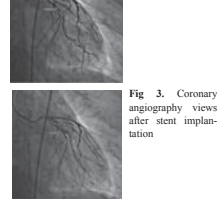


Fig 3. Coronary angiography views after stent implantation

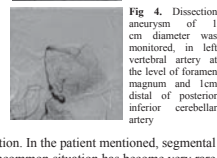


Fig 5. Diseksiyon anevrizminin 1 cm çapında olduğu gösterilen arter.

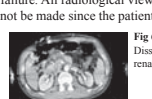
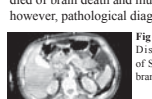
P-085

Acute myocardial infarction and multiple arteriopathy: segmental mediolytic arteriopathy

Serkan Ünlü, Çağrı Yayla, Hilal Olgun, Ülker Kaya, Erhan Yazıcı, Yusuf Tavil

Department of Cardiology, Gazi University Faculty of Medicine, Ankara

44 years old male patient suffering from stomachache was admitted to the emergency room. In abdominal computed tomography which patient had in external centre; peripheral thrombus was observed through superior mezenteric artery (SMA) and on both renal artery distal ends. The patient suffered respiratory arrest during his repeat abdomen tomography which was taken due to tenderness in right lower quadrant. After intubation; 12-lead electrocardiogram showed ST-segment elevation in AVR and ST-segment depression in V4-V5-V6 (Figure-1). Bed-side echocardiography showed hypokinesia in inferolateral wall. He was taken to the catheter laboratory for primer percutaneous coronary intervention. Coronary angiography showed plaques in LAD and RCA, a %90 lesion in circumflex artery body as well as in the opüs marjinialis 2 (Figure-2). A 35/18 mm direct stent was implanted covering the lesions in circumflex artery body and the proximal region of opüs marjinialis 2. Sufficient blood flow was provided after the procedure (Figure-3). No procedure-related complications occurred. While monitoring the patient in coronary intensive care, deterioration in his neurological examination was observed and a cranial computed tomography was taken, which showed subarachnoid bleeding. In selective cerebral angiography; internal carotid artery distribution could not be observed; in both right and left carotis systems; after main carotis artery bifurcation. In vertebrobasilar system; dissection aneurysm of 1cm diameter was monitored, in left vertebral artery at the level of foramen magnum and 1cm distal of posterior inferior cerebellar artery (Figure-4). Right vertebral artery intracranial distribution could not be seen. Control abdomen tomography showed multiple dissection of SMA and branches, left main iliac artery and left internal iliac artery and both renal arteries (Figure-5, Figure-6, Figure-7). The patient was evaluated collectively by regarding units, radiological views and patients clinic were decided to be consistent with segmental mediolytic arteriopathy. The patient's Glasgow Coma Score was 3. On the third day in coronary care unit, the patient suffered cardiac arrest and did not respond to resuscitation Since the patient's relatives did not consent to autopsy, it could not be done. Segmental mediolytic arteriopathy is a rarely seen, non-inflammatory arterial disease unrelated with arteriosclerosis and vasculitis. It is characterized by the degeneration of arterial media structure, intramural dissection, rupture of aneurysms and thrombosis. Usually being monitored at intra-abdominal arteries (especially SMA), this disease can seldom occupy cerebral arteries. Its definite diagnosis can be made by histopathologic evaluation. In the patient mentioned, segmental mediolytic arteriopathy occupied both abdominal and cranial arteries. This uncommon situation has become very rare by being accompanied by acute myocardial infarction and created a difficult medical condition to manage with. Patient died of brain death and multiple organ failure. All radiological views and his clinic has been supporting our diagnosis; however, pathological diagnosis could not be made since the patient's relatives did not consent to autopsy.



P-086

Aşırı kilolu ve obez bireylerde N-Terminal Pro-B tipi natriüretik peptid ve insülin direnci

Aytekin Alçelik¹, Eyüp Aytekin¹, Mehmet Tosun², Gülali Aktaş¹, Suzi Selim Ayhan³, Serkan ÖzTÜRK³, Mehmet Fatih Özlü³, Haluk Şavlı¹, Mehmet Yazıcı¹

¹Abant İzzet Baysal Üniversitesi Tip Fakültesi, İç Hastalıkları Anabilim Dalı, Bolu

²Abant İzzet Baysal Üniversitesi Tip Fakültesi, Biyokimya Anabilim Dalı, Bolu

³Abant İzzet Baysal Üniversitesi Tip Fakültesi, Kardiyoloji Anabilim Dalı, Bolu

P-086

N-terminal Pro-B-type natriuretic peptide and insulin resistance in overweight and obese subjects

Aytekin Alçelik¹, Eyüp Aytekin¹, Mehmet Tosun², Gülali Aktaş¹, Suzi Selim Ayhan³, Serkan ÖzTÜRK³, Mehmet Fatih Özlü³, Haluk Şavlı¹, Mehmet Yazıcı³

¹Department of Internal Medicine, Faculty of Medicine, Abant İzzet Baysal University, Bolu

²Department of Biochemistry, Faculty of Medicine, Abant İzzet Baysal University, Bolu

³Department of Cardiology, Faculty of Medicine, Abant İzzet Baysal University, Bolu

Introduction: Obesity and BNP, several studies have been conducted to investigate BNP levels in different obese populations. However, in these studies BNP levels were lower in obese population with an unclear mechanism which has not been explained yet. We sought to investigate the relationship among plasma NT-proBNP levels, obesity and insulin resistance in subjects with no known heart disease.

Materials-Method: The study population consists of two groups. Subjects with a BMI of <= 25 kg/m² were classified as lean group (LG, n=30), BMI of > 25 kg/m² were classified as overweight and obese group (OG, n=78). Severe hypertension, heart failure, ischemic heart disease, renal or hepatic insufficiency, age >65, pregnancy and malignancy were excluded.

Results: There was a negative correlation between NT-proBNP and weight ($r=-0.379$, $p=0.004$) and BMI ($r=-0.286$, $p=0.030$) in LG, but there was no such reverse correlation between NT-proBNP and BMI ($r=-0.057$, $p=0.463$) in OG. We performed multivariable logistic regression analyses to examine predictors of obesity levels. There were not any significant relation between these predictors and obesity. Insulin levels had a strong association with obesity level however this association was still insignificant ($p=0.054$).

Conclusion: In LG group, there was a negative correlation between NT-proBNP and BMI. There was no correlation between NT-proBNP and HOMA and insulin levels ($r=-0.035$, $p=0.789$) in LG group, but there was a statistically significant negative correlation between BNP and HOMA ($r=-0.219$, $p=0.009$) and insulin levels ($r=-0.252$, $p=0.002$) in OG group. Race and ethnicity may contribute this association.

P-087

Olgu bildirimi; Tribulus terrestris, Avena sativa ve Ginseng Panax kombinasyonu (Clavis Panax) kullanımına bağlı ani INR yükseltmesi

Murat Turfan, Abdurrahman Tasal, Fatih Ergun, Mehmet Ergelen, Ömer Göktekin

Bezmialem Üniversitesi Tip Fakültesi, Kardiyoloji Anabilim Dalı, İstanbul

Varfarin sodyum; protez kapak ve atriyal fibrilasyon hastalarında antitrombin ajan olarak kullanmaktadır. Ancak ilaçın etkinliğini değiştiren pek çok faktör bulunmaktaadır. Günümüzde özellikle yazılı ve görsel medya tarafından kullanılan teşvik edilen bitkisel kökenli olduğu iddia edilen karışımalar bu ilaç kullanlan hastalarda ani etkinlik değişimlerine bunun neticesi olarak hastalarda ciddi sonuclarla yol açabilirler. Biz bu vaka bildiriminde; Tribulus terrestris, Avena sativa ve Ginseng Panax kombinasyonu (Clavis Panax) kullanımına bağlı ani INR yükseltmesi olan iki olguya sunacağız.

Olgu: AVR ve AF nedeniyle varfarin kullanlan iki hasta rutin kontrollerinde INR değerlerinin çok yüksek olması üzerine hastaneye yatırılıyorlar. Hastalardan son bir aydır "Panax" isimli bitkisel ilaç kullanıkları öğreniliyor. Her iki hasta da etkileşime girecek başka bir ajan ya da diyet değişikliği saptanmadı. Aktif kanama izlenmeyen hastalar, söz konusu ilaç kesilip yeniden varfarin dozu ayarlandıktan sonra taburcu edildiler.

Tartışma: Varfarin sodyum, diyet ve ilaç etkileşimlerine bağlı olarak etkinliği değiştirebilen bir ilaçtır. Bu değişiklik mekanik protez kapakta trombus oluşumu ya da beyin içi kanama gibi ciddi komplikasyonları sonučanabilir. Hasti ve hasta yakınlarının bilinçlendirilmesi ve yakın INR takibi bu gibi şansızlıkların önüne geçilmesine yardımcı olabilir. Bitkisel karışımalar ve varfarin etkileşimi tüm dünyanın gündeminde olan bir problemdir. Son zamanlarda kullanımı yoğun bir şekilde teşvik edilen Tribulus terrestris, Avena sativa ve Ginseng Panax kombinasyonu (Clavis Panax) için değişik yayınlar bulunmaktadır. Lee ve arkadaşlarının 25 adet iskemik imme öyküsü olan hasta yapıtları bir çalışmada varfarin tedavisine Panax Ginseng eklemenin en uygun INR değerine ulaşmadı kötü bir etkisi olmadığı bulunmuştur. Ancak hem çalışma hastalarının sayısının azlığı hem de yazarların literatürdeki diğer yazıları da incelendiğinde mevcut yazı sağlam bir destek olarak alınmamalıdır. Tam tersine gene Uzakdoğu kökenli, 250 adet varfarin kullanan hasta ile ilgili yapılan bir çalışmada haftada dört kez bitkisel ilaç kullanan hastaların en uygun INR değerlerine ulaşmalarının kullanımaya kıyasla daha az olduğunu belirtmektedir. Son olarak yapılan bir meta analizde Panax Ginseng tabletlerinin özellikle kombine kullanımlarında varfarin ile etkileşime gitirebileceği belirtilmştir. Tribulus terrestris ve Avena sativa 'nın varfarin kullanan hastalarda güvenilirliğini incleyen bir çalışma ise yoktur. Bizim her iki hastamızda da bu karışımın tekli ya da çoklu etkilerine bağlı olarak INR değeri yükselmiştir. Hastaların öyüklereinde olumsuz etkileşime sebepl olacak başka bir faktör tespit edilememiştir. Sonuç olarak modern tipta yerini olsayan bu karışım zaten hali hazırda hassas bir denge gerektiren varfarin kullanımını esnasında tedavinin en uygun hale getirilmesi için büyük bir risk getirmektedir.

P-087

A sudden rise in INR due to combination of Tribulus terrestris, Avena sativa, and Panax ginseng (Clavis Panax)

Murat Turfan, Abdurrahman Tasal, Fatih Ergun, Mehmet Ergelen, Ömer Göktekin

Department of Cardiology, Bezmialem University Faculty of Medicine, İstanbul

P-088

Anklizan spondilitin atrioventriküler ileti süresine etkisi

Aycan Fahri Erkan, Berkay Ekici, Hasan Fehmi Töre

Ufuk Üniversitesi Tip Fakültesi, Kardiyoloji Anabilim Dalı, Ankara

Amaç: Ankilozan spondilit (AS) ağrılı, ilerleyici bir romatizmal hastalıktr. Temelde omurgayı etkilemekle beraber, diğer eklemeleri, kırış ve bağları da etkileyebilir. Bazen göz, aksigür, barsak ve kalp tutuluşu da görülebilir. Sinüs nodu işlev bozuklukları, sinoatriyal blok, çeşitli derecede atrioventriküler (AV) bloklar, intraventriküler ileti anomalileri rapor edilmiştir. Bu çalışmada asemptomatik AS'li hastalarda elektrokardiografik (EKG) bulguların incelenmesi amaçlanmıştır.

Materyal-Metod: Çalışmaya asemptomatik 55 AS'lı, 41 sağlıklı olmak üzere, 68 erkek, 28 kadın toplam 96 olgu dahil edildi. Olguların AS dışında bilinen sistemlerin hastalığı yoktu. Oniki derivasyonlu EKG kayıtları PR mesafesi, QRS süresi, düzeltilmiş QT dispersiyonu (QTd), P dalga dispersiyonu (Pd) açısından analiz edildi. Elde edilen veriler independent samples t test ile istatistiksel olarak analiz edildi. Degerlendirme sonucunda elde edilen bulgular ortalama ± standart sapma olarak belirtildi.

Bulgular: EKG bulguları değerlendirildiğinde PR mesafesi: 144.61 ± 21.87 ms, QRS süresi: 91.85 ± 11.37 ms, Pd: 43.34 ± 16.56 ms, QTd: 51.04 ± 16.06 ms olarak bulundu. AS'lı hastalarda PR mesafesi 151.76 ± 18.93 ms iken, sağlıklı kontrol grubunda 132.69 ± 21.48 ms olarak tespit edildi. Bu bulgulara göre AS'lı hasta grubunda, kontrol grubuna göre istatistiksel olarak anlamlı daha uzun PR mesafeleri mevcuttu ($p < 0.05$). Pd, QTd, QRS süresi ile aynı ilişkili tespit edilmedi ($p > 0.05$).

Sonuç: AS' de aort kökünün proksimalinde kalınlaşma ve genişleme, kapak küpsislerinde kalınlaşma ve kısalma, vaso vasorumlarda obliteratif endarterit gelişimi kapak yetmezliği, mitral kapağı tutulumuna bağlı mitral yetmezliği gibi anatomiik tutulum gelisebilir. Ayrıca çeşitli derecelerde ileti sistemi etkilenebilir. Bu çalışmada asemptomatik AS olgularında, normal popülasyona göre daha uzun PR mesafelerinin tespiti, atrioventriküler ileti sisteminin hentiz kardiyak semptomlar oluşmadan önce etkilenebileceğini göstermektedir. İleti sisteminin diğer bölgeleri hentiz etkilenememişken, atrioventriküler iletiinin etkilenmesiyle erken bulgu olarak PR mesafesinde uzama görülebilir. Bu sebeple AS olguları kardiyak tutulum açısından hastalığın erken ve asemptomatik evrelerinden itibaren daha dikkatli bir şekilde değerlendirilmelidirler.

P-089

Ankiloza spondilitte tekrarlayan dev sinüs Valsalva anevrizması: Cerrahi tedavi çözüm mü?Süleyman Ercan¹, Musa Çakıcı¹, Vedat Davutoğlu¹, Mehmet Hayri Açıçı¹, Ahmet Mesut Onat²¹Gaziantep Üniversitesi, Kardiyoloji Anabilim Dalı, Gaziantep²Gaziantep Üniversitesi, Romatoloji Anabilim Dalı, Gaziantep

P-088

The impact of ankylosing spondylitis on atrioventricular conduction time

Aycan Fahri Erkan, Berkay Ekici, Hasan Fehmi Töre

Department of Cardiology, Ufuk University Faculty of Medicine, Ankara

P-089

Recurrent giant sinus of Valsalva aneurysm and ankylosing spondylitis: is surgical repair a solution?Süleyman Ercan¹, Musa Çakıcı¹, Vedat Davutoğlu¹, Mehmet Hayri Açıçı¹, Ahmet Mesut Onat²¹Department of Cardiology, Gaziantep University, Gaziantep²Department of Rheumatology, Gaziantep University, Gaziantep

The most familiar complication of ankylosing spondylitis (AS) is inflammatory process involving the aortic wall behind and immediately above the sinuses of valsalva which may results in sinus of valsalva aneurysm. Herein we would like to both share a case of isolated giant sinus of valsalva aneurysm and discuss the potential recurrence due to solely repair of aneurysm secondary to AS. In our patient, who underwent aneurysmectomy and primary suture repair with pericardial patch for sinus of valsalva aneurysm secondary to AS, isolated sinus of valsalva aneurysm relapsed within one year after surgery and reached a diameter of 53 mm. To the best of our knowledge, in the literature, there is no case report regarding a relapsed isolated sinus of valsalva aneurysm following surgical repair. In conclusion, special attention must be paid to the potential relapse of aortic aneurysms, which develops secondary to autoimmune disorders such as AS, Behcet's disease, psoriatic arthritis, Takayasu's arteritis and Reiter's syndrome, when using primary suture repair and patch repair in the treatment. Therefore, more radical surgical approaches should be preferred, such as Bentall technique. Furthermore, patients should be regularly followed by echocardiographic examination for the potential mechanical complications that may develop postoperatively.



Figure 1. Preoperative echocardiography revealing large non-coronary cusp of sinus valsalva aneurysm (star) are shown on parasternal short axis view. LV:left ventricle, AO:aorta



Figure 2. Postoperative echocardiography showing large relapse of non-coronary cusp of sinus valsalva aneurysm (star) are shown on parasternal short axis view. AO:aorta

Genel

P-090

Tip 2 diyabet hastalarında düzenli aerobik egzersizin hs-CRP düzeylerine etkisi

Göksele Güz¹, İbrahim Altun¹, Erol Sağatlı¹, Arife Uslu Güz¹, Mehmet Emin Kalkan², Nihat Polat³

¹Zonguldak Atatürk Devlet Hastanesi, Kardiyoloji Kliniği, Zonguldak

²Kartal Koşuyolu Yüksek İhtisas Eğitim ve Araştırma Hastanesi, İstanbul

³Urfa Kalp Merkezi, Şanlıurfa

Diyabette görülen endotel fonksiyon bozukluğu aterosklerotik süreci başlatan, ilerleten en önemli durumdur. İnfamasyon, insulin rezistanlığı ve takip eden edotol disfonksiyonu aterotrombotik süreçin başlaması ve gelişmesinde onemi ve bağımsız yerini ortaya konmuştur. Bugün atheroskleroz artı inflammatuar bir hastalık olarak kabul edilmektedir. Diyabette inflamatuar mekanizmalar aktif hale getirir ve antioksidan kapasitede azalma ve oksidatif strestre artış söz konusudur. Diyabetik hastalarla hs-CRP düzeyleri, diyabetik olmayanlara göre daha yüksektir. Plazma hs-CRP konsantrasyonu hem diyabetik hem diyabetik olmayanlarda insulin duyarlılığını güçlendirir. diyabetik olmayanlar kabul edilmektedir. Çalışmamızda tip 2 diyabet hastalarında düzenli aerobik egzersisin hs-CRP düzeylerine etkisini araştırdık. Çalışmamızda tip 2 DM tansısı konulup, en az üç yıldır diyabet nedenyile takibe alınmış, iskemik semptomları olan, oral antidiyabetik kullanan, sedanter yaşam tarzi olan 40 hasta alınmıştır. Çalışmaya alınan diyabetik hastalar iki gruba ayrılmıştır. İlk gruptaki hastalar Spor Hekimliği Anabilim Dalı'nda haftada en az 3 kez olmak üzere düzenli egzersiz programını almış, diğer günlerde de düzenli olarak egzersiz yapmaları için teşvik edilmiştir. Ikinci gruptaki hastalara egzersiz uygulamamış ve egzersiz hakkunda ek bilgi verilmemiştir. Aynı zamanda diyabetik hastaların hs-CRP değerlerini sağlıklı popülasyona kıyaslayabilmek için, bilinen kronik hastalığı olmayan, yaş ve cinsiyet dağılımı açısından hasta grubuna benzer özellikte, 12 saatlik açlık sonrası kan şekeri 100 mg/dl'den düşük, sağlam 20 kişi çalışmaya alınmıştır. Egzersiz grubundakiler hastalara 8 hafif süreyle, haftada en az 3 gün olmak üzere Spor Hekimliği ABD departmanından doktor görevinden egzersiz yaptırıldı. Seanslar 10 dakika istenme, 45-60 dakika aerobik egzersiz şeklinde yapılandı. Aerobik egzersiz hastaların anaerobik eşiklerine yakındır seviyede (yaklaşık %50-65 pik VO₂) yapıldı. Hastalar egzersiz programına katılmadıkları günlerde de düzenli egzersiz yapmaları açısından teşvik edildiler. Hastaların kontrol grubundan hs-CRP ölçülmüşdür. hs-CRP değerlerinden ılık gruplar arasında, diyabetik egzersiz yapan ve yapmayı planlayanlar arasında değerler açısından istatistiksel fark yokken, sağlıklı grubun bazal hs-CRP ($p=0.001$) değerleri diğer iki gruba göre anlamlı olarak düşük bulunmuştur (Tablo 1). Diyabet egzersiz yapan grubun egzersiz öncesi ve sonrası ort. CRP değerleri arasında anlamlı farklılık bulunmuştur ($p=0.019$ -Tablo 2). Egzersiz programı sonrası egzersiz yapan diyabetik grubun hs-CRP değerleri egzersiz yapmayan grubu göre anlamlı olarak daha düşüktür. Egzersiz yapan hasta grubunun egzersiz programı sonrası CRP değerleri ort ile sağlık kontrol grubunun ort. değerlerarası arasında anlamlı fark saptanmıştır (Tablo 3). Klinik açıdan fiziksel aktivitenin diyabet üzerindeki etkileri değerlendirildiğinde, düzenli aerobik egzersizin inflamasyonu basitleştirilmiştir.

	Diabetik egzersiz yapan grub (n: 20)	Diabetik egzersiz yapmayan grub (n: 20)	sağlıklı grub (n: 20)
hs-CRP (mg/ml)	3,28 ± 1,28	3,2 ± 1,1	1,99 ± 0,91 $p<0,0001$

Tablo 1. Grupların hs-CRP değerleri açısından karşılaştırılması

	egzersiz öncesi Ort. ± S.S	egzersiz sonrası Ort. ± S.S
hs-CRP değerleri (mg/ml)	3,29 ± 1,39	2,49 ± 1,04 ($P=0.019$)

Tablo 2. Diyabetik egzersiz yapan grubun egzersiz önce ve sonrası hs-CRP değerleri karşılaştırılması

	Diabetik egzersiz yapan grub (n: 20)	Sağlıklı grub (n: 20)
hs-CRP (mg/ml)	2,49 ± 1,04	1,99 ± 0,91 $p:0.136$

Tablo 3. Egzersiz yapan grubun egzersiz sonrası hs-CRP değerleri ile sağlıklı grubun değerlerinin karşılaştırılması

P-091

Kardiyak tümör ve şüphe

Onur Aslan, Dursun Dursunoğlu, Burcu Uludağ

Pamukkale Üniversitesi Tip Fakültesi, Kardiyoloji Anabilim Dalı, Denizli

Giriş: Kardiyak tümörler benign ve malign olarak iki ayrı gruptan sekonder olanlar metastatik tümörlerdir. Nadir görülen bu tümörler genis otospi serilerinde %0,05 ile %0,02 arasında değişen oranlarında bildirilmiştir. Primer tümörlerin %75 kadarı benign ve bunların da %75 kadarı mikrosomalardan oluşmaktadır. Intramiyokardiyal tutulumlar en sık oranda sol ventrikül serbest duvarı ve ventriküler septumda izlenir. Bu radyo gen bir erkek hasta septal tutulum gösteren, yüksek derecede şüpheye yola çıkılarak tespit edilen bir miyokardiyal fibrom olgusu sunulmaktadır.

Olgu Sunumu: Olgumuz daha öncesine ait kardiyak öyküsü bulumayan ve son iki gündür eforla ilişkisi göğüs ağrısı tıkanımış 26 yaşında bir erkek hasta. Sol göğüsün üzerinde baskı tarzında ara arası şiddetlenen, sol kolumna dayanın ağrı tarif eden hastanın sigara dışında herhangi bir risk faktörü bulunmamaktadır. Fizik muayenesinde kan basıncı 110/80 mmHg, nabız 74/dakika olarak tespit edildi ve başka özellilik yoktu. Özgeçmiş ve söyleçiminde özellilik olmayan hastanın elektrokardiografisinde (EKG) yaygın J noktası elevasyonuyla uyumlu olabilecek görünümünü yan sıra V1-3 derivasyonlarında bifazik T dalgaları izlenmiştir (Resim 1). Takip EKG'lerinde anlamlı değişim saptanmadı. Laboratuvar bulgularında anormallik yoktu. Akciğer grafişi de normal şarttan hastanın ekokardiografisinde sol ventrikül septumunda 28x26mm boyutlarında, düzgün sınırlı hiperekojen görünüm izlenmiştir (Resim 2). Batın ultrason ve kist hidatik hemaglütinasyonu negatif olarak saptandı. Kardiyak MR çekilen hastanın interventriküler septumunda kitle göründüğü izlenmiştir ve bu görünümün fibrom lehine yorumlandı raporlandı. Basıktarında göğüs ağrısı devam eden hastaya eşlik edebilecek anomalilikler de düşünültük koroner anjiyografi planlandı. Sol ön inen arterden (LAD) septal kitleye fistülasyon olduğu görüldü (Resim 3,4). Konsey sonucunda cerrahi karar alınan hasta operasyonu kabul etmediği için önerilerle taburcu edildi.

Tartışma: Kardiyak fibromların çoğu çocukluk çağında bir yaşından önce tespit edilmektedir (1). Ne var ki bildirilen vakalar daha çok genç yaşta ve rastlantısal olarak tespit edilenleri yaşlardadır. Sempatomlar genel olarak tümörün yerlesimiyle ilgilidir. Bu da genellikle septumda. Gorlin Syndromlu hastaların yaklaşık olarak %3'te kardiyak fibromlar tespit edilmişdir (2). Ekokardiografيا septal fibromlar düzgün sınırlı, geniş, solid kitleler olarak görülmektedir (3). Kardiyak fibromlar benign patolojileridir ancak yavaş olsa ilerlemeye göstermektedir.

Sonuç: Özellikle göğüs ağrısı gibi semptomları olan genç hastalarda kardiyak tümör tanısı akılda tutulmalıdır. Tümörün lokalizasyonu ve büyüklüğine göre kapak disfonksiyonu, embolizasyon, lokal invazyon ile artımı, tamponad ve kardiyak ölüm sebebi olabilir. Bu patolojilerin tedavisi ise hemen her zaman cerrahidir. Bu hastalıklarda daha fazla klinik tecrübe ve şüpheye ihtiyaç olduğu açıktır.

General

P-090

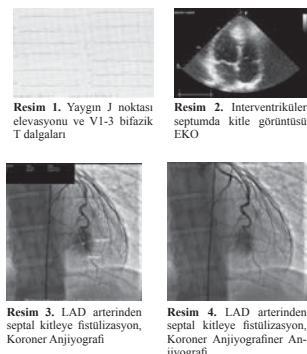
Effects of regular aerobic exercise on hs-CRP levels in patients with tip 2 diabetes mellitus

Göksele Güz¹, İbrahim Altun¹, Erol Sağatlı¹, Arife Uslu Güz¹, Mehmet Emin Kalkan², Nihat Polat³

¹Department of Cardiology, Zonguldak Atatürk State Hospital, Zonguldak

²Kartal Koşuyolu Yüksek İhtisas Training and Research Hospital, İstanbul

³Urfa Heart Center, Şanlıurfa



Genel

P-092

Miksoma ve fibroelastomanın eşlik ettiği carney sendromlu hasta

Ali Kemal Gür¹, Yüksel Kaya², Ahmet Karakurt², Tolga Sinan Güvenç²

¹Van Bölge Eğitim ve Araştırma Hastanesi, Kalp ve Damar Cerrahisi Kliniği, Van

²Kafkas Üniversitesi Tıp Fakültesi, Kardiyoloji Anabilim Dalı, Kars

Giriş: Primer kalp tümörleri içerisinde miksomalar ilk sırada yer almaktadır. İlk defa J. Aidan Carney tarafından 1985 yılında tanımlanan Carney Sendromu ise multipik miksoma (kalpte, deride, memo dokusu), ciltte pigmentasyonlar, memenin miksoïd fibroadenomları ve endokrin neoplazileri içeren herediter otosomal dominant geçişli bir hastalık kompleksidir. Endokrin organlara ait en sık rastlanan bulgular adrenokortikotropik hormon üretimine bağlı Cushing Sendromu, akromegali ve tiroid ve testiküler tümörlerdir. Kardiyal miksomalarda tedavisinde cerrahi tek tedavi seçenekidir. Sendrom içerisindeki diğer tümöral oluşumlar lokализasyon yerine, büyütüklüğe, salgıladığı hormonların klinik durumuna göre farklı tedaviler gerektirmektedir.

Olgı: Halsizlik, çarpıntı, kilo alma ve göğüs kafesinde lekelemeye şikayet ile genel cerrahi polikliniğine başvuran 38 yaşında bayan hastanın yapılan fizik muayenesinde sol memede kitle tespit edildi. Kitleden yapılan biyopsi fibroelastom olarak rapor edildi. Çarpıntı şikayetinden dolayı kardiyoloji kliniği ile konsultele edilen hastaya yapılan ekokardiyografide sol atriumda 40 x 50 mm boyutlarında mobil bir kitle tespit edildi. Hastaya kardiopulmoner bypass ile kitle eksizyonu yapıldı ve hasta postoperatif 5. gündə taburcu edildi. Kitlenin histopatolojik olarak yapılan incelemesi miksoma olarak rapor edildi.

Sonuç: Intrakardiyak tümörler tam konulduktan sonra zaman kaybedilmeden opere edilmedi. Gen bayan hastalarda memede kitle nedeniyle araştırmaları sırasında hastalarda Carney Sendromu akılda tutulmalı ve ekokardiyografi, kranial bilgisayarlı tomografi çekilmeli ve endokrin organlar sıkı bir şekilde incelemelidir.

General

P-092

The carney syndrome patient associated fibroelastoma and myxoma

Ali Kemal Gür¹, Yüksel Kaya², Ahmet Karakurt², Tolga Sinan Güvenç²

¹Department of Cardiovascular Surgery, Van Bölge Training and Research Hospital, Van

²Department of Cardiology, Kafkas University Faculty of Medicine, Kars

P-093

Atrioventriküler tam blok ve ağır korda rüptürü ile komplike olmuş mitral kapak prolapsusu ve sol ventrikül noncompaction olgusu

Mehmet Hayri Alıcı, Fethi Yavuz, Süleyman Ercan, Selve Arslan, Mehmet Kaplan, Vedat Davutoğlu

Gaziantep Üniversitesi Tıp Fakültesi, Kardiyoloji Anabilim Dalı, Gaziantep

P-093

A case of left ventricular noncompaction and mitral valve prolapse complicated with severe ruptured chordae tendineae and complete atrioventricular block

Mehmet Hayri Alıcı, Fethi Yavuz, Süleyman Ercan, Selve Arslan, Mehmet Kaplan, Vedat Davutoğlu

Gaziantep University School of Medicine, Department of Cardiology, Gaziantep

Noncompaction cardiomyopathy is a rarely seen type of congenital cardiomyopathy. It is caused by the defective embryonic migration of myocardial fiber. It is frequently complicated with heart failure, arrhythmias and embolic events. Association of mitral valve prolapse or complete atrioventricular block with non-compaction is scarce, however, the combination of both of mitral valve prolapse and atrioventricular block to the non-compaction has not been reported so far to our knowledge. A 50 years old female was admitted to clinic with a history of 3 syncops attacks in last week. She had suffered from class 2 New York Heart Association effort capacity for two years and class 3 for three months. On examination, she was mildly dyspneic, her pulse was 20 beats per minute (bpm), blood pressure 85/65 mmHg. Cardiac examination revealed 4/6 systolic murmur at the apical region. An ECG revealed complete AV block (19 bpm) and right bundle branch block. On monitoring the rhythm was changed to sinus and subsequently to complete AV block. During follow-up ECG showed trifascicular block including right bundle branch block, left anterior hemiblock and first degree AV block. Transthoracic echocardiography showed enlarged left atrium, preserved left ventricular systolic function, prominent trabeculations and deep intertrabecular recesses on the apical and mid-ventricular aspects of the lateral wall of the left ventricle, mitral valve prolapse, severe mitral valve regurgitation with suspicion of chordae rupture. Chordae rupture was documented on transesophageal echocardiography. A DDDR pacemaker was implanted. The patient was referred to surgery for severe mitral regurgitation. Herein we report for the first time that left ventricular non-compaction may complicate with mitral valve prolapsus and complete atrioventricular block.

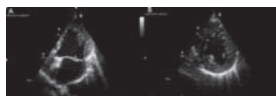


Fig 1. Prominent trabeculations and deep intertrabecular recesses on the apical and mid-ventricular aspects of the lateral wall of the left ventricle. A: Apical four chamber, B: Parasternal short axis

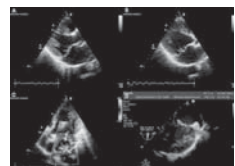


Fig 2. A: Mitral valve prolapse, B: Ruptured chordae on transthoracic echocardiography, C: Severe Mitral regurgitation, D: Ruptured chordae on transesophageal echocardiography



Fig 3. A: Admission electrocardiogram: 19 beats per minute, complete atrioventricular block, right bundle branch block. B: Follow-up electrocardiogram: Trifascicular block, right bundle branch block, left anterior hemiblock, first degree atrioventricular block.

P-094

Behcet hastalığı aktivitesi ile kırmızı küre dağılım genişliği arasındaki ilişki

Semra Aktürk¹, Erdal Aktürk², Ertuğrul Kurtoglu³, Arzu Kaya¹, Arif Gulkesen¹, Gülden Ayden Kal¹, Türkhan Tunçer¹, İsa Sincir⁴

¹Fırat Üniversitesi Tip Fakültesi, Fiziksel Tip ve Rehabilitasyon Anabilim Dalı, Elazığ

²Adiyaman Üniversitesi Tip Fakültesi Kardiyoloji Anabilim Dalı, Adiyaman

³Elazığ Eğitim ve Araştırma Hastanesi, Kardiyoloji Kliniği, Elazığ

⁴Gaziantep Devlet Hastanesi, Kardiyoloji Kliniği, Gaziantep

P-094

Association between red cell distribution width and disease activity in patients with Behcet's disease

Semra Aktürk¹, Erdal Aktürk², Ertuğrul Kurtoglu³, Arzu Kaya¹, Arif Gulkesen¹, Gülden Ayden Kal¹, Türkhan Tunçer¹, İsa Sincir⁴

¹Fırat University, Faculty of Medicine, Department of Physical Medicine and Rehabilitation, Elazığ

²Adiyaman University, Faculty of Medicine, Department of Cardiology, Adiyaman

³Elazığ Education and Research Hospital, Department of Cardiology, Elazığ

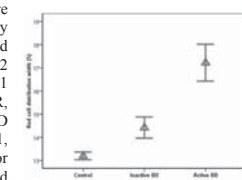
⁴Gaziantep State Hospital, Department of Cardiology, Gaziantep

Aims: we aimed to investigate whether red cell distribution width (RDW) can also be used for the assessment of disease activity in Behcet's disease (BD).

Methods-Results: Forty patients with active BD and seventy patients with inactive BD were included in the study. Forty-six healthy volunteers constituted the control group. Hematological parameters, C-reactive protein (CRP) and erythrocyte sedimentation rate (ESR) were analyzed by standard methods. All the individuals underwent comprehensive echocardiographic examination.

Echocardiographic parameters of the study population were similar all groups. ESR, CRP and RDW were significantly higher in active BD patients than in inactive BD patients and controls (33.6 ± 22 vs 15.7 ± 9 vs 5 ± 4.1 , 23.4 ± 21.6 vs 5.5 ± 6.2 vs 1.2 ± 0.5 and 17.2 ± 2.5 vs 14.4 ± 1.9 vs 13.2 ± 0.5 , $p < 0.0001$ for all, respectively). Moreover, we also found that ESR, CRP and RDW were significantly higher in inactive BD patients when compared with the controls (15.7 ± 9 vs 5 ± 4.1 , 5.5 ± 6.2 vs 1.2 ± 0.5 and 14.4 ± 1.9 vs 13.2 ± 0.5 , $p < 0.0001$ for all, respectively). Laboratory parameters of the patients and controls are shown in Table 1. Figure 1 shows distribution of RDW values in each group. There were modest positive correlations between RDW and disease duration ($r = 0.320$, $P = 0.001$).

Conclusion: We demonstrated that RDW significant increased in active and inactive BD patients without cardiac involvement. In addition, our study has established that RDW can be used to determine the disease activity state of BD.



Mean RDW distribution among the three groups.

Table 1. Laboratory parameters of the patients and controls

	Active BD (n=40)	Inactive BD (n=70)	Control (n=46)	P
White blood cell count ($10^9/\text{mm}^3$)	9.8±3.2	7.7±2.5	7.7±2.1	0.3
Hemoglobin (g/dL)	13.7±1.2	14±1.1	14.6±1.3	0.002*
Platelet ($10^9/\text{mm}^3$)	244±54	236±43	229±46	0.6
Mean corpuscular volume (fL)	83.1±1.4	84.2±1.5	87.1±1.9	<0.005*
ESR (mm/h)	33.6±22	15.7±9	5±4.1	<0.0001*
C-reactive protein (mg/dL)	23.4±21.6	5.5±6.2	1.2±0.5	<0.0001*
RDW (%)	17.2±2.5	14.4±1.9	13.2±0.5	<0.0001*

BD, Behcet's disease; ESR, erythrocyte sedimentation rate; RDW, red cell distribution width; *p < 0.05 when blood cell counts were significantly different between active and inactive BD and control groups. *Significant difference is between active BD - control and inactive BD - control groups.

P-095

Ortalama trombosit hacmi infektif endokarditte artmaktadır ve infektif endokardit tedavisi sonrasında azalmaktadır

Atilla İcli¹, Şenol Tayyar², Ercan Varol², Fatih Aksoy², Akif Arslan², İbrahim Ersoy², Selahaddin Akçay²

¹Ahi Evran Üniversitesi Eğitim ve Araştırma Hastanesi, Kardiyoloji Kliniği, Kırşehir

²Süleyman Demirel Üniversitesi Tip Fakültesi, Kardiyoloji Anabilim Dalı, Isparta

Giriş: Infektif endokardit (IE) hastalığında thromboembolizm ciddi bir komplikasyondur. Yapılan çalışmalarla IE hastalarında trombosit aktivasyonu geliştiği gösterilmiştir. Ortalamada trombosit hacmi (OTH) trombosit aktivasyon belirteçlerinden biri olarak kabul edilen kolay bir metoddur. Bu çalışmada IE hastalarında OHT'yi değerlendirmeyi amaçladık.

Metod: 29 IE hastası ve 29 sağlıklı kontrol grubu çalışmaya alındı. Plazma OTH değerleri hastalar ve kontrol grubunda ölçüldü. IE hastalarında iki haftalık spesifik IE tedavisi sonrasında OTH değerleri ölçüldü.

Bulgular: IE hastalarında OTH kontrol grubuna göre anlamlı oranda yükseltip tespit edildi (9.86 ± 1.1 fL vs 8.0 ± 1.0 fL, $p < 0.01$). Ayrıca IE hastalarında OTH değerlerinin IE tedavisi sonrasında anlamlı olaraq azaldığı tespit edildi (9.86 ± 1.1 fL to 7.86 ± 1.0 , $p < 0.01$). Tersine trombosit sayısının ise tedavi sonrasında anlamlı oranda arttığı saptandı (193.4 ± 96.5 x109 to 243.7 ± 92.4 x109, $p = 0.04$).

Sonuç: Bizim bulgularımız IE hastalarında OTH'nın arttığını ve IE tedavisi sonrası OTH değerlerinin anlamlı oranda azaldığını göstermektedir. IE hastalarında OTH seviyelerinde artma trombosit aktivasyonunu göstermektedir ve IE tedavisinin trombosit aktivasyonunu azalttığını göstermektedir.

P-095

Mean platelet volume is increased in infective endocarditis and it decrease after treatment

Atilla İcli¹, Şenol Tayyar², Ercan Varol², Fatih Aksoy², Akif Arslan², İbrahim Ersoy², Selahaddin Akçay²

¹Department of Cardiology, Ahi Evran University Training and Research Hospital, Kırşehir

²Department of Cardiology, Süleyman Demirel University Faculty of Medicine, Isparta

Objectives: Thromboembolism is a serious complication of infective endocarditis (IE). Studies have demonstrated that platelet activation occurs in patients with IE. Mean platelet volume (MPV) reflects platelet size and is accepted as one of the marker of platelet activation. MPV is a simple and easy method of assessing platelet function. The aim of this study was to assess the mean platelet volume (MPV), an indicator of platelet activation in patients with IE.

Methods: Twenty nine patients with IE and 29 healthy subjects were studied. Plasma MPV values in patients and control subjects were measured. MPV values were assessed on admission and after two weeks of specific treatment of IE.

Results: MPV was significantly higher among patients with IE when compared with control group (9.86 ± 1.1 to 8.0 ± 1.0 fL respectively, $p < 0.01$). MPV values decreased significantly after treatment (9.86 ± 1.1 fL to 7.86 ± 1.0 , $p < 0.01$). Total platelet counts increased significantly after treatment (193.4 ± 96.5 x109 to 243.7 ± 92.4 x109, $p = 0.04$).

Conclusion: We have shown that MPV values were increased in patients with IE and MPV values decreased significantly after treatment. Elevated MPV indicate that patients with IE have an increased platelet activation and IE treatment decrease platelet activation. This study indicates that elevated platelet activation and MPV decrease after specific IE treatment.

Genel

P-096

Artmış GGT seviyesinin akut pulmoner embolisi olan hastalarda erken mortaliteyle ilişkisi

Ali Zorlu¹, Hasan Yucel¹, Gokhan Bektaşoglu², Kenan Ahmet Turkdogan³, Umut Eryigit⁴, Savas Sarikaya⁵, Meltem Refiker Ege⁶, Izzet Tandogan⁶, Mehmet Birhan Yilmaz⁶

¹Ozel Malatya Hastanesi, Kardiyoloji Klinigi, Malatya

²Uzunköprü Devlet Hastanesi, Kardiyoloji Klinigi, Edirne

³Isparta Devlet Hastanesi, Acil Bölümü, Isparta

⁴Karadeniz Teknik Universitesi, Acil Bölümü, Trabzon

⁵Yalova Devlet Hastanesi, Kardiyoloji Klinigi, Yalova

⁶Cumhuriyet Üniveritesi Tip Fakültesi Kardiyoloji Anabilim Dalı, Sivas

General

P-096

Increased γ -glutamyl transferase levels predict early mortality in patients with acute pulmonary embolism

Ali Zorlu¹, Hasan Yucel¹, Gokhan Bektaşoglu², Kenan Ahmet Turkdogan³, Umut Eryigit⁴, Savas Sarikaya⁵, Meltem Refiker Ege⁶, Izzet Tandogan⁶, Mehmet Birhan Yilmaz⁶

¹Department of Cardiology, Private Malatya Hospital, Malatya

²Department of Cardiology, Uzunkopru State Hospital, Edirne

³Department of Emergency, Isparta State Hospital, Isparta

⁴Department of Emergency, Karadeniz Technical University, Trabzon

⁵Department of Cardiology, Yalova State Hospital, Yalova

⁶Department of Cardiology, Cumhuriyet University School of Medicine, Sivas

Background: Increased γ -glutamyl transferase (GGT) level is associated with increased oxidative stress, all-cause mortality, the development of cardiovascular disease, and metabolic syndrome. However, its role in acute pulmonary embolism (PE) is unknown. In this study, we aimed to investigate the relationship between GGT and early mortality in patients with acute PE.

Methods: A total of 127 consecutive patients with confirmed PE were evaluated. The optimal cutoff value of GGT to predict early mortality was measured as more than 55 IU/L with 94.4% sensitivity and 66.1% specificity. Patients with acute PE were categorized prospectively as having no increased (group I) or increased (group II) GGT based on a cutoff value.

Results: Of these 127 patients, 18 patients (14.2%) died during follow-up. Among these 18 patients, 1 (1.4%) patient was in group I, and 17 (30.9%) patients were in group II ($P < .001$). γ -Glutamyl transferase level on admission, presence of shock, heart rate, oxygen saturation, right ventricular dilatation/hypokinesia, main pulmonary artery involvement, troponin I, alanine aminotransferase, alkaline phosphatase, and creatinine levels were found to have prognostic significance in univariate analysis. In the multivariate Cox proportional hazards model, GGT level on admission (hazard ratio [HR], 1.015; $P = .017$), presence of shock (HR, 15.124; $P = .005$), age (HR, 1.107; $P = .010$), and heart rate (HR, 1.101; $P = .032$) remained associated with an increased risk of acute PE-related early mortality after the adjustment of other potential confounders.

Conclusions: We have shown that a high GGT level is associated with worse hemodynamic parameters, and it seems that GGT helps risk stratification in patients with acute PE.

P-097

Sol atriuma bası yapan hiatal herni

Mutlu Cagan Sumerkan¹, Burak Hunuk², Ayten Hunuk³, Gamze Babur Guler¹, Serhat Bahadir Sozen¹, Ekrem Guler¹, Kemal Gunaydin⁴, Engin Ersin Simsek⁵, Sukru Oksuz⁶, Mehmet Agirbasli⁷

¹Duzce Ataturk State Hospital, Department of Cardiology, Duzce

²Maltepe C.I.K. State Hospital, Department of Cardiology, Istanbul

³Fatih Sultan Mehmet Education and Research Hospital, Department of Emergency Medicine, Istanbul

⁴Duzce Ataturk State Hospital, Department of Emergency Medicine, Duzce

⁵The Provincial Health Director of Duzce, Duzce

⁶Chief of the Hospital, Duzce Ataturk State Hospital, Duzce

⁷Marmara University, Faculty of Medicine, Department of Cardiology, Istanbul

P-097

Hiatal hernia compressing the left atrium

Mutlu Cagan Sumerkan¹, Burak Hunuk², Ayten Hunuk³, Gamze Babur Guler¹, Serhat Bahadir Sozen¹, Ekrem Guler¹, Kemal Gunaydin⁴, Engin Ersin Simsek⁵, Sukru Oksuz⁶, Mehmet Agirbasli⁷

¹Duzce Ataturk State Hospital, Department of Cardiology, Duzce

²Maltepe C.I.K. State Hospital, Department of Cardiology, Istanbul

³Fatih Sultan Mehmet Education and Research Hospital, Department of Emergency Medicine, Istanbul

⁴Duzce Ataturk State Hospital, Department of Emergency Medicine, Duzce

⁵The Provincial Health Director of Duzce, Duzce

⁶Chief of the Hospital, Duzce Ataturk State Hospital, Duzce

⁷Marmara University, Faculty of Medicine, Department of Cardiology, Istanbul

Purpose: Hiatal hernias may demonstrate a wide spectrum of manifestations even mimicking acute cardiovascular events. The clinical presentation of hiatal hernia-induced cardiac compression can range from dyspnea, recurrent acute heart failure and even hemodynamic collapse. Its echocardiographic manifestations may mimic a left atrial space-occupying structure leading to differentiation from such lesions. Despite the high prevalence of sliding type hiatal hernia, a relatively small number of echocardiographically manifested cases have been reported.

Case Details: A 73-year-old caucasian female presented to our emergency department with symptoms of dysphagia, retrosternal chest pain and severe orthopnea. She was on pulmonary edema which responded well to therapy. However, physical examination, biochemical tests, cardiac markers and ECGs, were inconclusive for the reason of her acute clinic. Chest X-ray showed pulmonary venous congestion with a normal cardio-thoracic index and widened mediastinum with an air-fluid level. We were informed that her complaints were generally occurring after meals and she got worse. Transthoracic echocardiography performed in the emergency department and revealed almost complete obliteration of the left atrium by an echolucent space-occupying mass. A subsequent thoracic computed tomography showed a sliding hernia in the posterior mediastinum, impinging on the posterior left atrial wall. She was subsequently transferred to general surgery department with appropriate recommendations.

Conclusions: Identification of a hiatal hernia with the clues from the patient's medical history along with imaging modalities is important to avoid misinterpretations. Especially it shall be kept in mind in cases with recurrent heart failure events.

Hernia compressing the left atrium

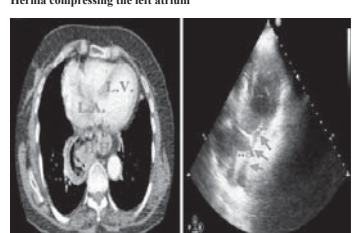


Figure 1. A, Axial computed tomography scan (post contrast) demonstrating well-defined large ovoid-shaped sizeable hiatus hernia (83x63x48 mm) impinging on the posterior aspect of the left atrium (arrows). LV, left ventricle; LA, left atrium; Ao, aorta; HH, hiatus hernia. B, Apical four chambers views of transthoracic echocardiography revealing almost complete obliteration of the left atrium by the echolucent apparent mass (arrows).

P-098

Koroner arter cerrahisi öncesinde asetilsalisik asit kullanan hastalarla kullanmayanların postoperatif mortalite açısından karşılaştırılması

Barçın Özcem, Ufuk Yetkin, Mehmet Bademci, Muhammet Akyüz, Serkan Yazman, Ersin Çelik, İsmail Yürekli, Ali Gürbüz

İzmir Askeri Hastanesi Kalp ve Damar Cerrahisi Bölümü, İzmir

Amaç: Bu çalışmanın amacı; koroner arter bypass greftleme operasyonuna kadar günde 100 mg enterik kaplı ASA tablet kullanan hastalarla, kullanmayan hastaların postoperatif dönemde mortalite oranını açısından fark olup olmadığını saptanmasıdır.

Yöntem: Klinikümüzde Ocak 2011-Aralık 2011 tarihleri arasında koroner arter bypass greftleme cerrahisi uygulanan 61 koroner arter hastası retrospektif olarak incelendi. Çalışmaya dahil edilen 61 hastanın 49'u (%80.3) kardiyopulmoner bypass cihazı kullanılarak, 12'si (%19.7) ise atan kalpte ameliyat edilmiştir. Hastalardan 30'u (%49.2) 100 mg enterik kaplı asetilsalisik asit kullanan grup, 31'i (%50.8) ise ASA kullanmayan grup olarak ikiye ayrıldı. ASA kullanımını olan grubun yaş ortalaması 61.33 yıl iken ASA kullanımını olmayan grubun yaş ortalaması 57.71 yıldır.

Bulgular: Kardiyopulmoner bypass (KPB) kullanılarak ameliyat edilen olgular için mortalite; ASA kullanımını olan grupta %4.5, ASA kullanımını olmayan grupta ise %3.7 olup gruplar arasında istatistiksel olarak anlamlı farklılık yoktu. ($p>0.05$). Atan kalpte opere edilen olgular mortalite açısından değerlendirildi. ASA kullanımını olan ve olmayan grupta ölümü seyreden hasta olmadı. Bulgular istatistiksel olarak anlamlı degildi ($p>0.05$).

Sonuç: Bu çalışlığımızda her iki yöntem ile ameliyat edilen hasta gruplarını inceledik. Her iki grupta da; ASA'nın anlamlı bir mortalite artışına yol açmadığını ve ASA kullanmayan gruba göre istatistiksel olarak anlamlı bir fark oluşturmadığını saptadık.

P-099

Bir acil poliklinigine başvuran tuberkuloz perikardit vakası olarak yer alabilir

Burak Hünük¹, Mustafa Ahmet Hünük², Metin Güçlü³, Tarık Candan⁴, Şule Bakır⁵, Birol Ocak², Figen Güler²

¹Maltepe C.I.K. Devlet Hastanesi, Kardiyoloji Kliniği, İstanbul

²Bursa Şevket Yılmaz Eğitim ve Araştırma Hastanesi, İç Hastalıkları Kliniği, Bursa

³Bursa Şevket Yılmaz Eğitim ve Araştırma Hastanesi, Endokrinoloji ve Metabolizma Kliniği, Bursa

⁴Bursa Şevket Yılmaz Eğitim ve Araştırma Hastanesi, Göğüs Cerrahisi Kliniği, Bursa

⁵Bursa Şevket Yılmaz Eğitim ve Araştırma Hastanesi, Patoloji Kliniği, Bursa

P-098

Comparison of postoperative mortality between patients receiving and not receiving salicylate before coronary surgery

Barçın Özcem, Ufuk Yetkin, Mehmet Bademci, Muhammet Akyüz, Serkan Yazman, Ersin Çelik, İsmail Yürekli, Ali Gürbüz

Department of Cardiovascular Surgery, Izmir Military Hospital, Izmir

P-099

Tuberculous pericarditis referring to an emergency department: a case report

Burak Hünük¹, Mustafa Ahmet Hünük², Metin Güçlü³, Tarık Candan⁴, Şule Bakır⁵, Birol Ocak², Figen Güler²

¹Maltepe C.I.K. State Hospital, Section of Cardiology, Istanbul

²Bursa Şevket Yılmaz Education and Research Hospital, Department of Internal Medicine, Bursa

³Bursa Şevket Yılmaz Education and Research Hospital, Department of Endocrinology and Metabolism, Bursa

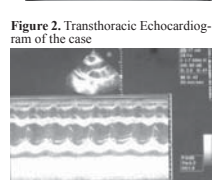
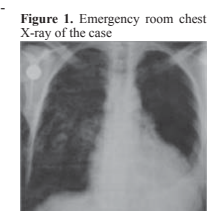
⁴Bursa Şevket Yılmaz Education and Research Hospital, Department of Thoracic Surgery, Bursa

⁵Bursa Şevket Yılmaz Education and Research Hospital, Department of Pathology, Bursa

Background: Over the last decades, the incidence of tuberculous pericarditis (TP) in the Western world has fallen as the prevalence of tuberculosis (Tb) has decreased. However, the difficulty in diagnosis makes TP an important health problem in both developed and developing countries. Here we report a case of TP in a young male seen in emergency room.

Case: A 37 year-old Caucasian man presented to our emergency room with pleuritic chest pain, night sweats, fever and weight loss for the last 1 month. 3 weeks ago he was diagnosed as idiopathic pericarditis in a rural hospital and using ibuprofen but his symptoms worsened. He had no other known disease or immunodeficiency. On examination, he was febrile, tachypneic and tachycardic with normal blood pressures and no jugular venous distension. Breath sounds were decreased on left lower lobe of the lung, heart sounds were distant with a pericardial friction rub. ECG showed a sinus tachycardia, low voltage complexes and biphasic T waves. Chest X-ray indicated left basal consolidation with effusion and increased cardio-thoracic index (Figure-1). Laboratory results were normal apart from ESR:118mm/hr, CRP:73 mg/L and hypochromic microcytic anemia. Echocardiogram showed 1.3 cm global pericardial effusion with highly abundant fibrin strands and visceral pericardial thickening (Figure-2). Thoracic CT revealed segmental atelectasis of left lower lobe due to pleural effusion and paratracheal lymphadenomegaly. A thoracoscopy was planned for differential diagnosis. TP was diagnosed by acid fast stain examination and BAC-TEC culture of the thoracoscopic biopsy material and pericardial fluid obtained through thoracoscopy while anti-Tb drugs started promptly.

Conclusions: TP occurs in 1-2% of patients with pulmonary Tb. The present case implies that TP shall be kept in mind before a prompt diagnosis of idiopathic pericarditis. Careful patient history and physical examination greatly contributes to this relatively difficult diagnosis. Tuberculous pericarditis has a variable clinical presentation like other chronic diseases and should especially be considered in the evaluation of all cases of pericarditis without a self-limiting clinical course.



Global fibrinous pericardial effusion of 12-13 mm can be seen on M-mode parasternal long axis transthoracic Echocardiography. There were no haemodynamic findings consistent with pericardial constriction and there were also no pericardial thickening.